Incontri di Fisica 2009, LNF, 7 Ottobre '09

Dalle Particelle Elementari alla Cosmologia: La Fisica Fondamentale e LHC

Guido Altarelli

Ordinario di Fisica Teorica all'Universita' di Roma Tre Gia' Direttore dell'Unita' di Fisica Teorica del CERN

LHC partira' tra breve, lo speriamo!

Dopo l'incidente del 19 Settembre '08 riparte nel Nov. '09 [LEP si e' chiuso alla fine del 2000] Si parte con 3.5 TeV/fascio

Top priorita' di fisica LHC (ATLAS&CMS):

- Chiarire il meccanismo fisico della rottura della simmetria elettrodebole
- Ricerca di nuova fisica alla scala del TeV
- Identificazione delle particelle che costituiscono la Materia Oscura nell'Universo

Inoltre:

- LHCb: Decadimenti degli adroni con b (violazione di CP)
- ALICE: Collisioni di ioni pesanti & QCD ad alta densita' e T
- A questo punto nuovi dati sono veramente necessari!!

CERN: in origine Comitato Europeo per la Ricerca Nucleare

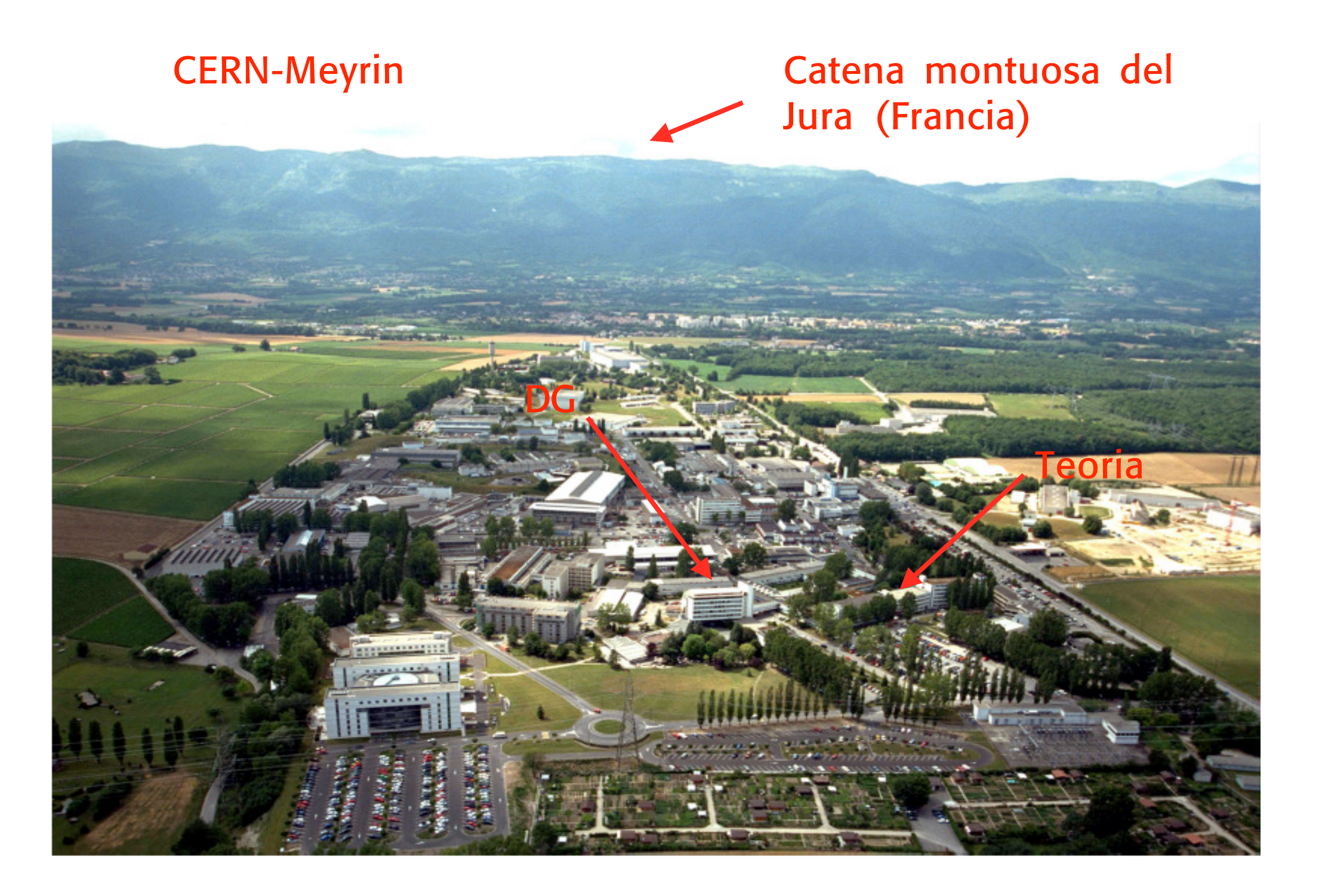
In realta' e' un laboratorio per la fisica delle particelle. Ricerca fondamentale non applicata (direttamente)

Quando il CERN e' sorto nel 1954 la ricerca in Europa era in fase di ricostruzione dalle rovine della guerra

La crescita del CERN e' andata di pari passo con il recupero della scienza in Europa

A partire dagli anni '70 il gap con gli USA e' stato colmato e oggi addirittura il CERN e' all'avanguardia nella fisica delle particelle (in particolare il progetto LHC)

LHC: un anello di ~26 Km con magneti superconduttori a 1.9° K per accelerare due fasci di protoni (collisioni pp) fino a 7+7=14 TeV (1 TeV = 10^{12} eV ~ 1.6 erg)



Tunnel LEP/LHC (26 Km)

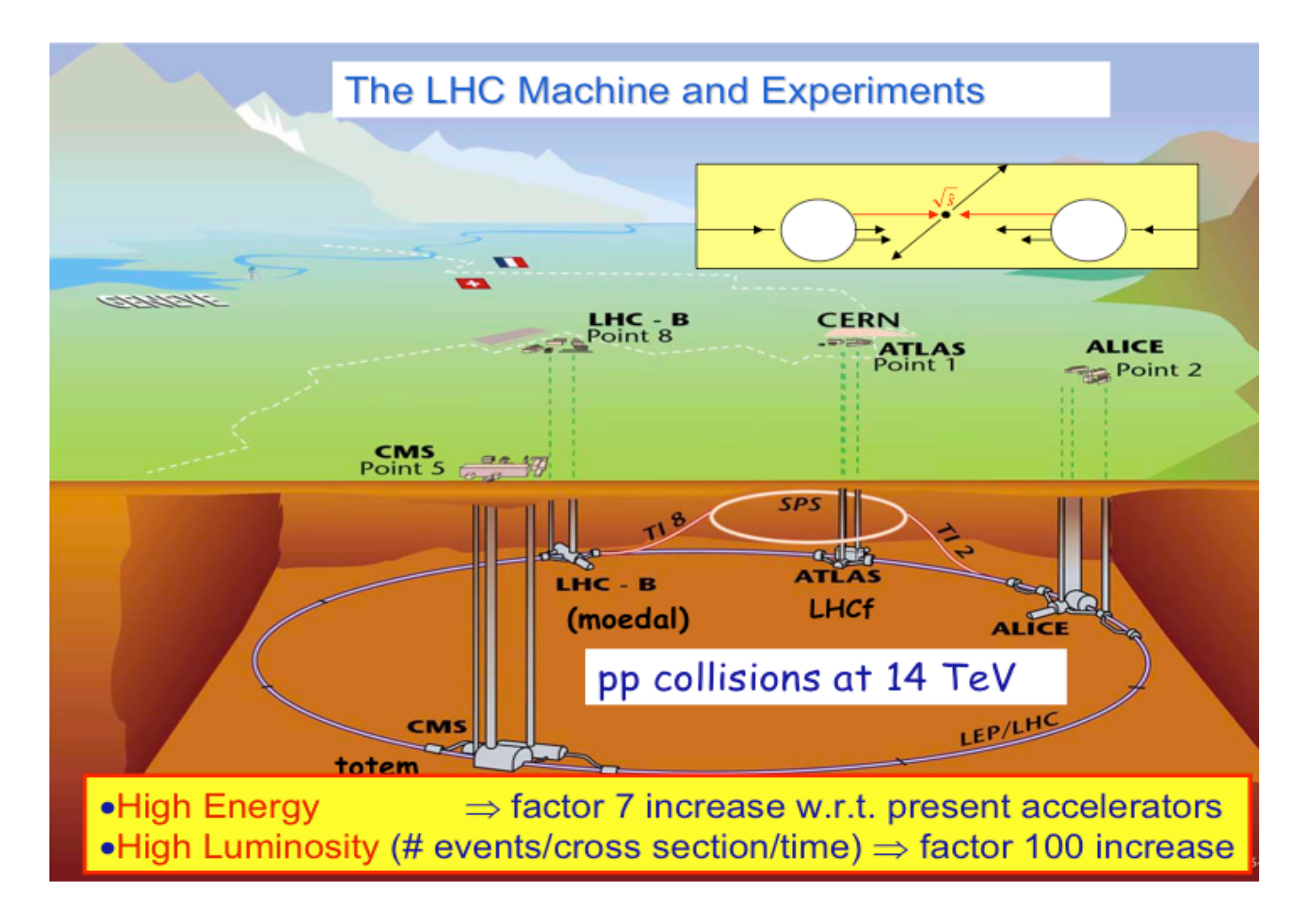
Frontiera Fr-Ch

CERN Meyrin

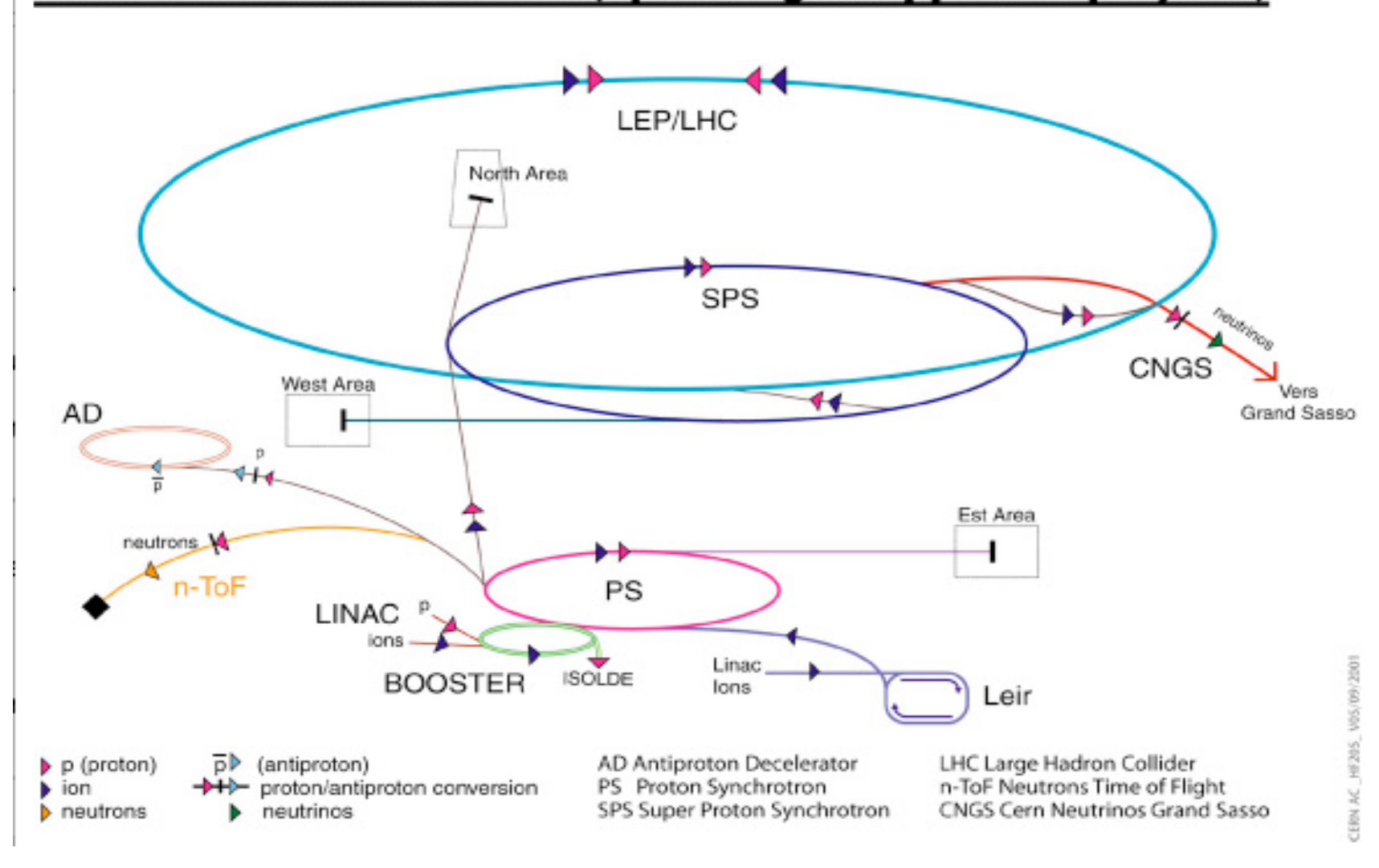
Aeroporto







Accelerator chain of CERN (operating or approved projects)

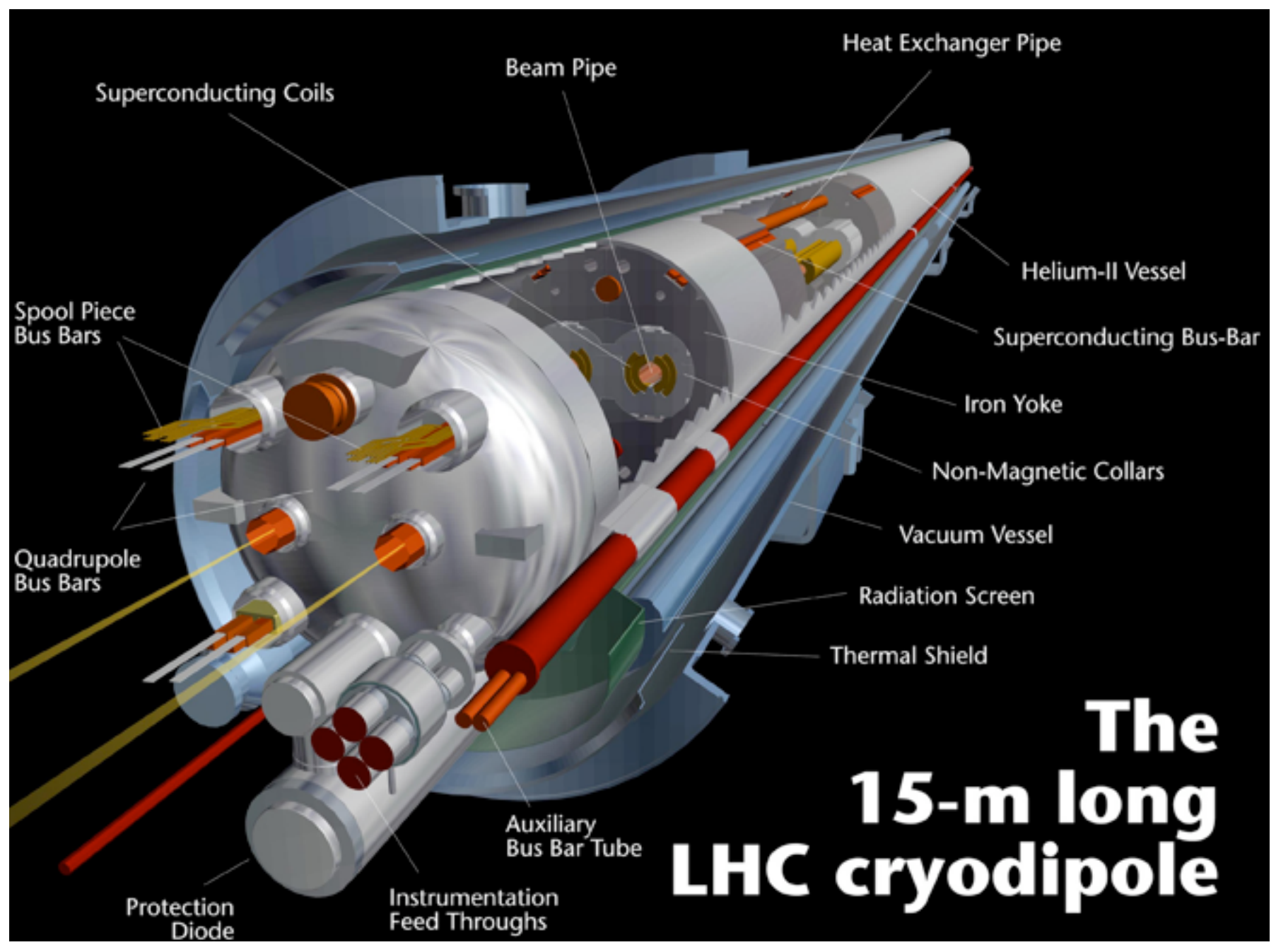




I magneti superconduttori del LHC (1.9 °K, 8-9 Tesla) sono istallati nel tunnel di ~26 Km





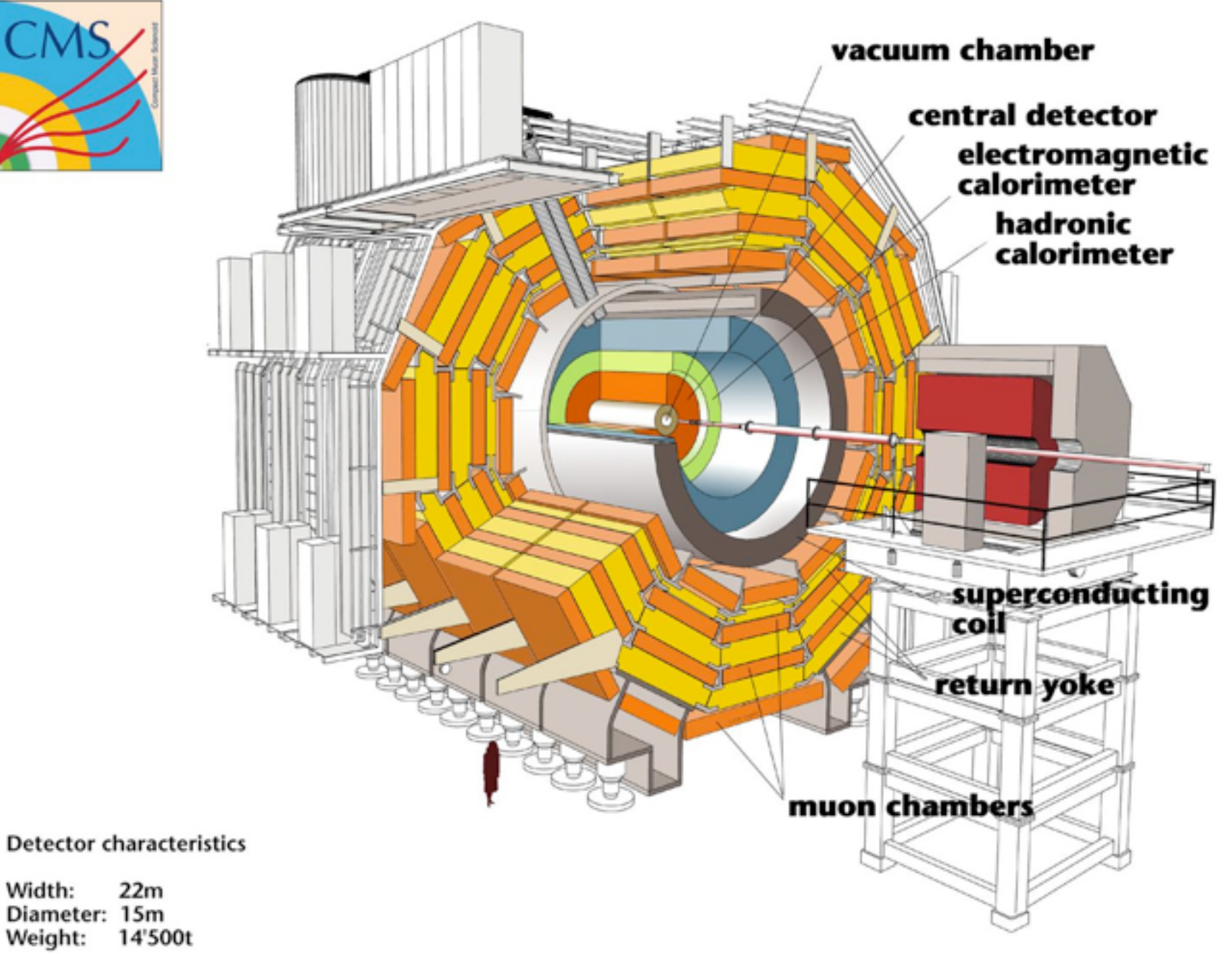




B= 8.3 Tesla

i ~ 12000 A



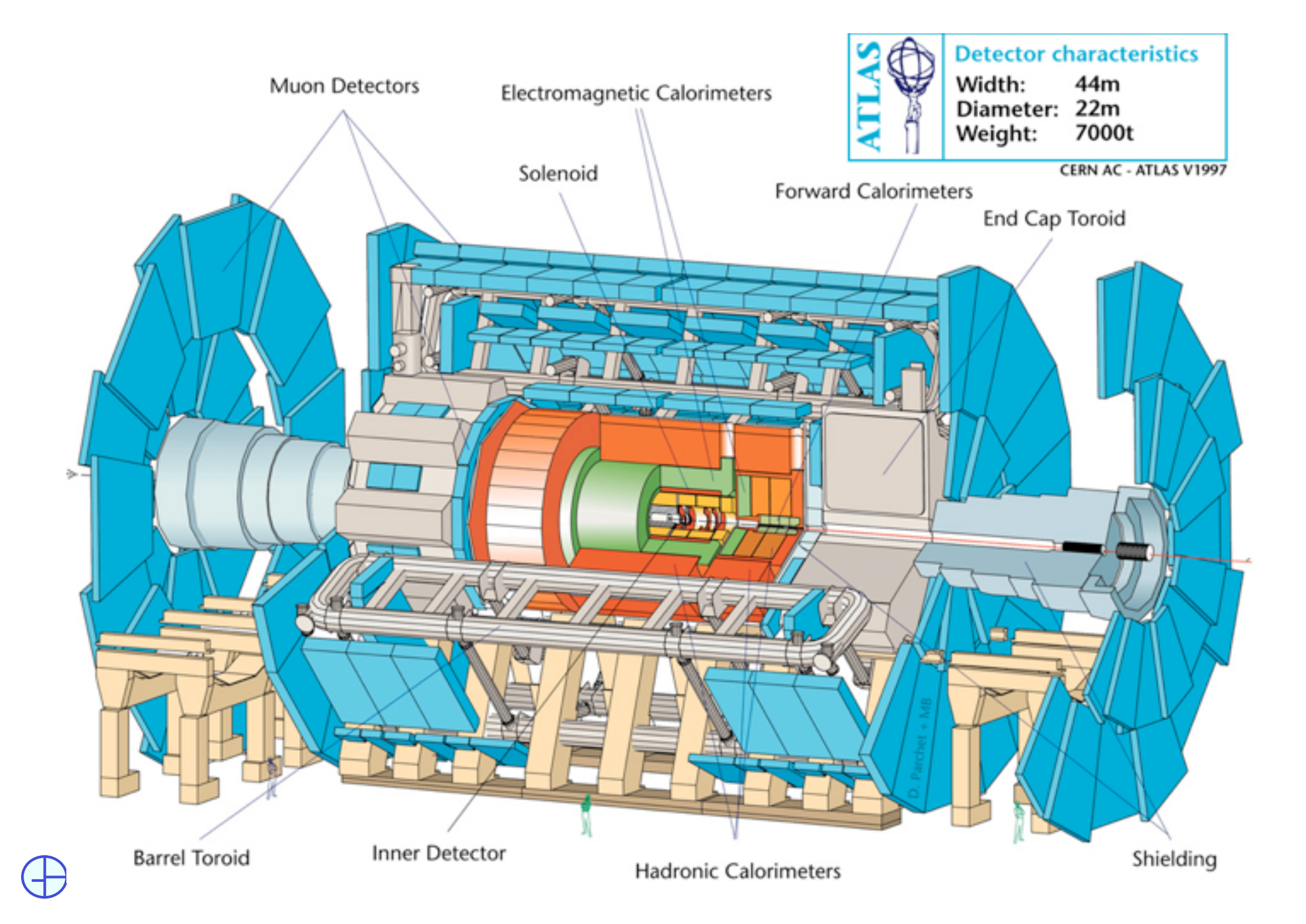




Width:

Diameter: 15m

22m



In fisica fondamentale:

C'e' un grande progresso verso l'unita'

Molti problemi comuni

Teorie quantistiche e relativita' Fisica delle particelle



Gravita' quantistica Superstringhe Grand Unified Theories

.....

Relativita' Generale Cosmologia



Materia Oscura Energia del vuoto Nucleosintesi Bariogenesi

Meccanica statistica



Formalismo collegato in teoria dei campi



H: hamiltoniana (energia)

Quattro interazioni fondamentali:

- forti (legame dei nuclei, adroni, quark e gluoni...)
- elettromagnetiche (luce, onde em, atomi, molecole....)
- deboli (radioattivita', energia delle stelle, neutrini...)
- gravitazionali (peso, attrazione newtoniana, astronomia)

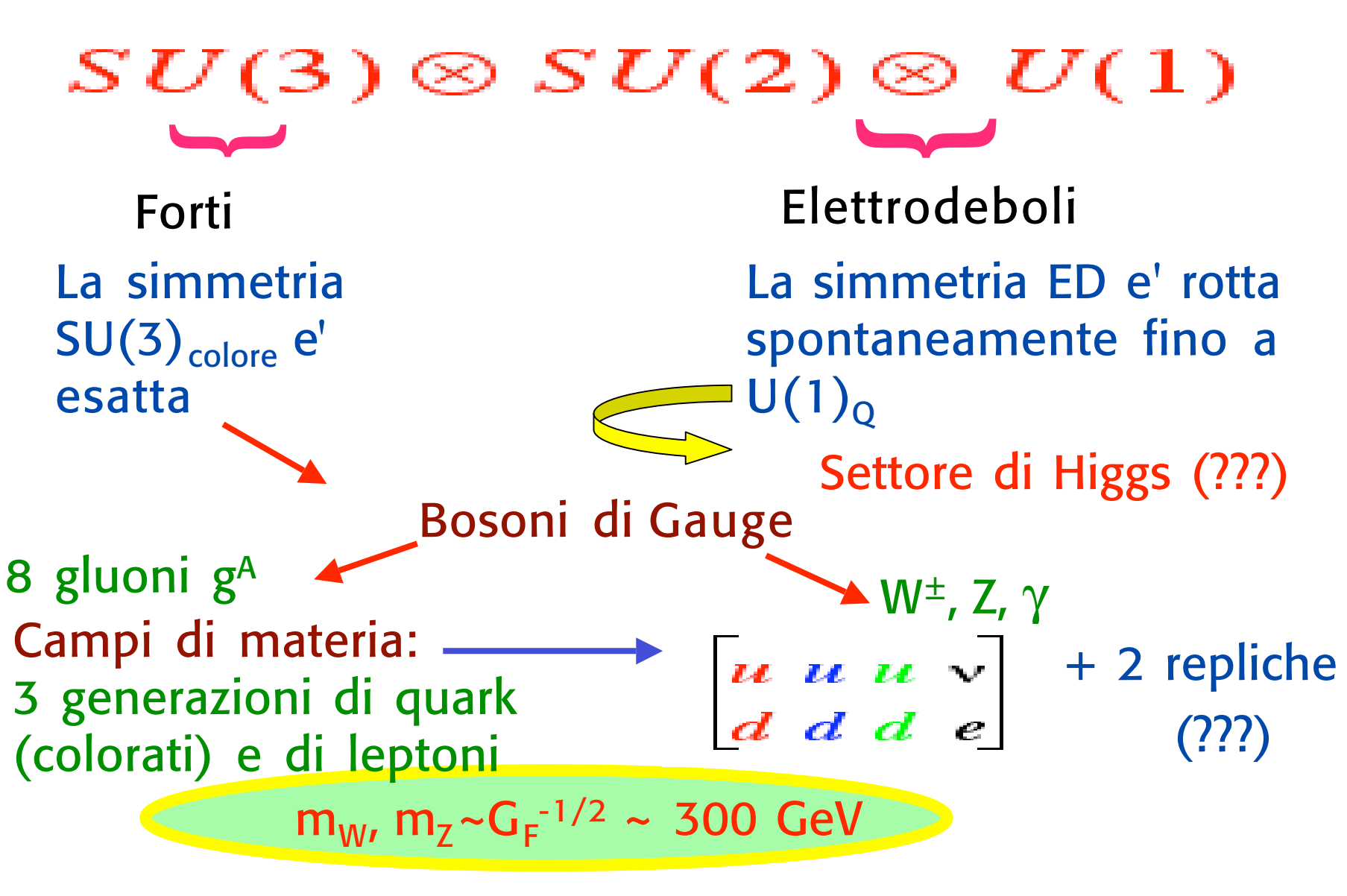
Trascurabile in fisica delle particelle alle energie degli esperimenti fattibili



La grande maggioranza dei fenomeni osservati sono descritti dal Modello Standard delle int. forti ed elettrodeboli (una teoria di gauge di campi relativistici quantizzati)+ la teoria classica della dinamica gravitazionale (relativita' generale) (Ma non tutti i fenomeni!!)

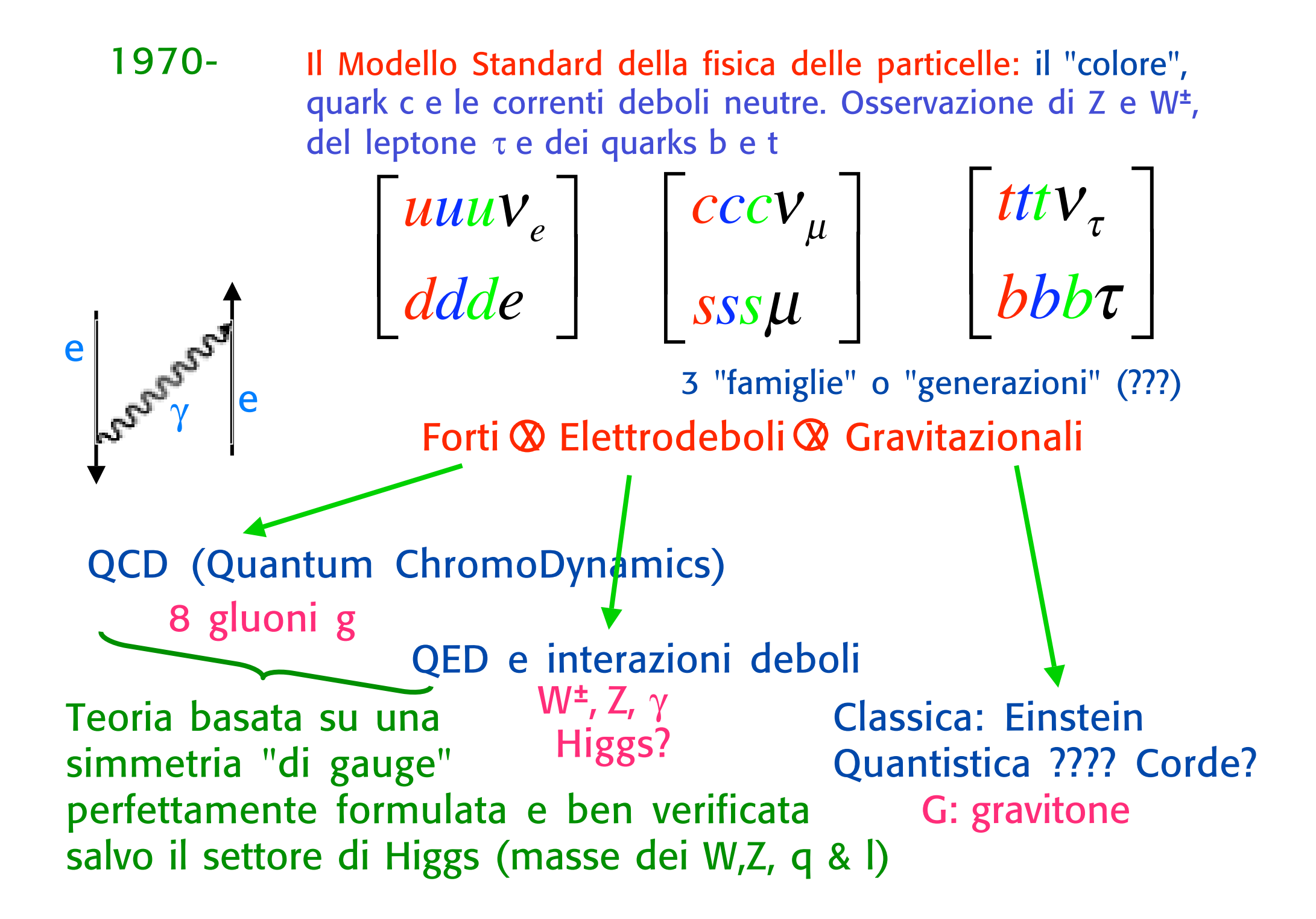


Il Modello Standard





Scala di Fermi per le masse (???)

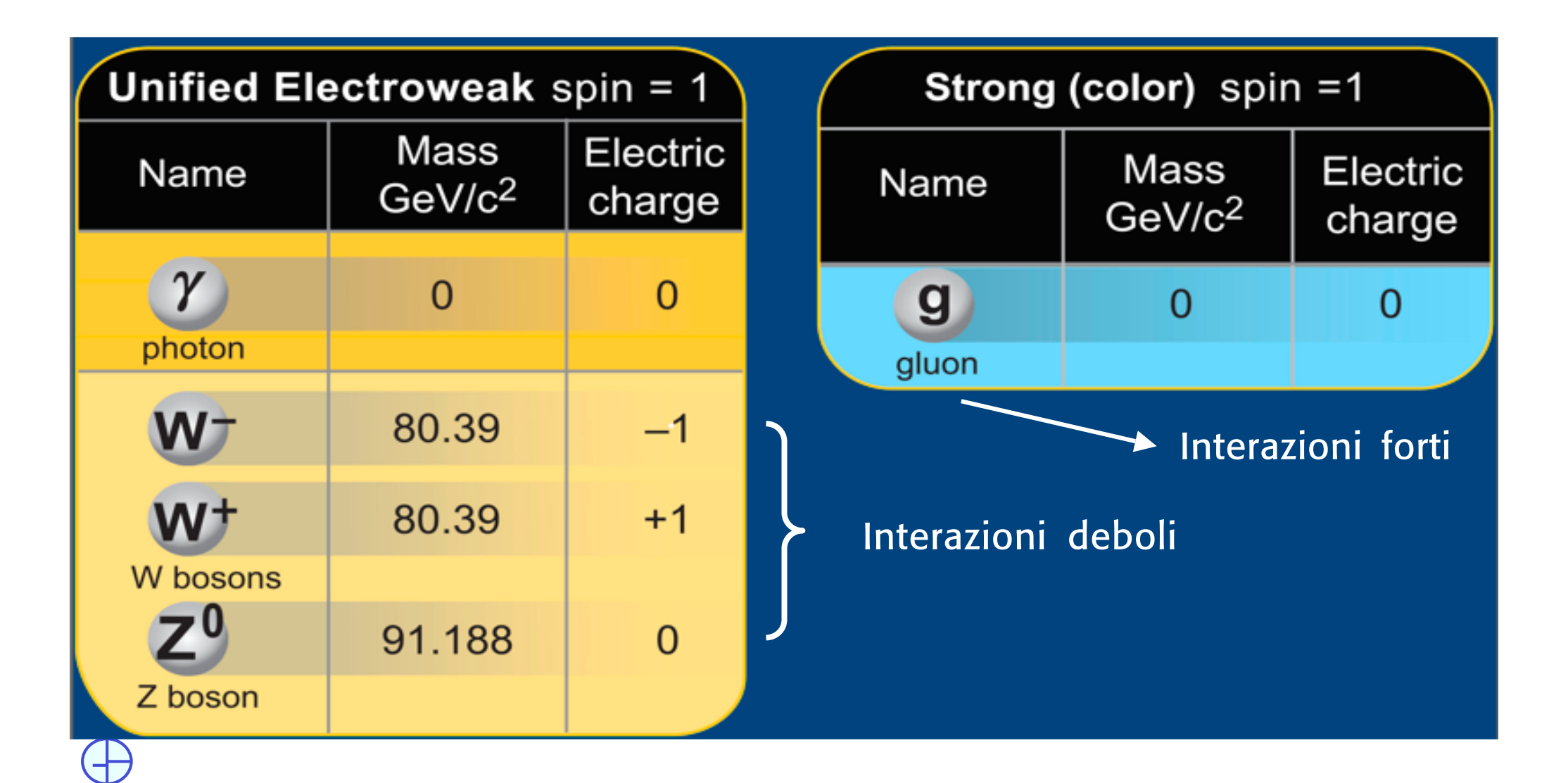


Le generazioni sono identiche (stesse cariche etc) salvo che le masse sono differenti

Leptons spin =1/2			Quarks spin =1/2		
Flavor	Mass GeV/c ²	Electric charge	Flavor	Approx. Mass GeV/c ²	Electric charge
ν _L lightest neutrino*	(0-0.13)×10 ⁻⁹	0	u p up	0.002	2/3
e electron	0.000511	-1	d down	0.005	-1/3
v _M middle neutrino*	(0.009-0.13)×10 ⁻⁹	0	C charm	1.3	2/3
μ muon	0.106	-1	strange	0.1	-1/3
ν _H heaviest neutrino*	(0.04-0.14)×10 ⁻⁹	0	t top	173	2/3
τ tau	1.777	-1	b bottom	4.2	-1/3

Quark e leptoni pesanti sono instabili e decadono per effetto delle interazioni deboli (le uniche che cambiano il "sapore")

I "portatori" delle interazioni γ e g sono senza massa, mentre W[±] e Z sono molto pesanti



QCD e' una teoria "semplice" [quark e gluoni colorati]

$$L = -\frac{1}{4} \sum_{A=1}^{8} F^{A\mu\nu} F^{A}_{\mu\nu} + \sum_{j=1}^{n_{F}} \overline{q}_{j} (i\widehat{D} - m_{j}) q_{j} \qquad \widehat{D} = D_{\mu} \gamma^{\mu}$$

$$F^{A}_{\mu\nu} = \partial_{\mu} g^{A}_{\nu} - \partial_{\nu} g^{A}_{\mu} - e_{s} C_{ABC} g^{B}_{\mu} g^{C}_{\nu}$$

Ma con un contenuto fisico molto ricco:

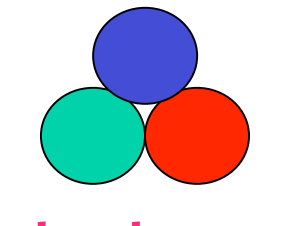
- Lo spettro complesso degli adroni
- Confinamento
- Liberta' asintotica (Premio Nobel 2004)
- Transizioni di fase

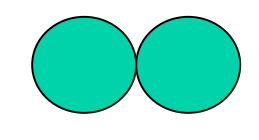
[Deconfinamento (plasma q-g),]



Heavy ion collisions (CERN, RHIC, LHC)

Tutti gli adroni osservati sono composti senza colore di quark





Barioni: qqq

Mesoni: qq

Per esempio:

Protone p: uud

Neutrone n: ddu

Pione π^+ : ud

Il colore e' essenziale per la statistica di Fermi

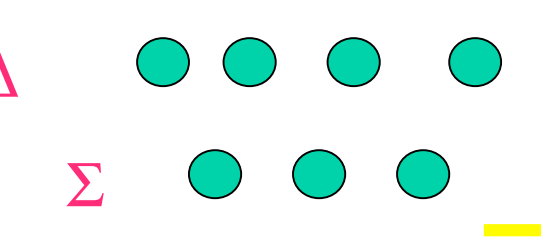
Lo stato Δ^{++} con spin $3/2 = u \uparrow u \uparrow u \uparrow$



e' simmetrico in spazio e spin ma antisimm. in colore

e per la spiegazione dello spettro osservato

Per es. Il "decupletto" I barioni osservati sono ottetti e decupletti



ddd ddu duu uuu

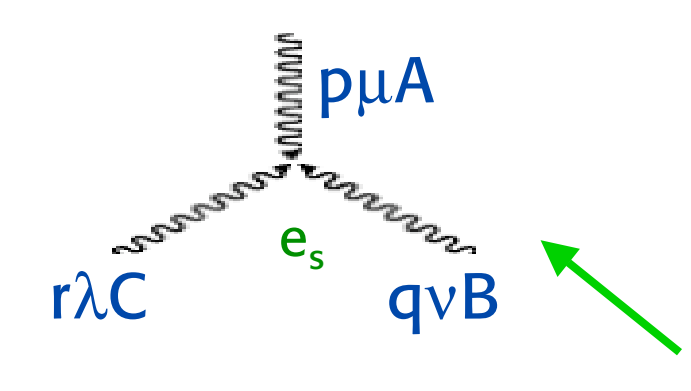
dds dus uus dss uss

SSS

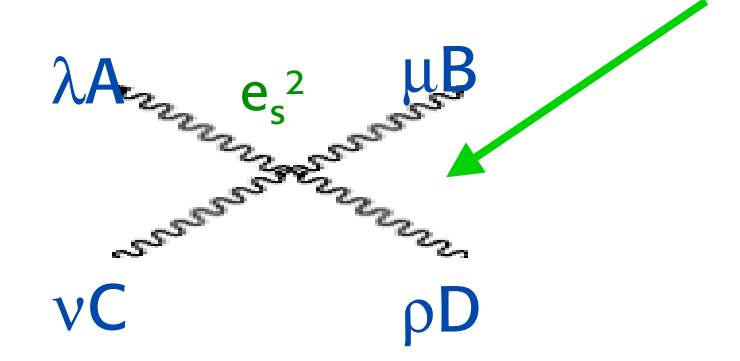


Vertici d'interazione in QCD





In QED il fotone e' accoppiato a tutte le particelle cariche ma lui e' neutro. In QCD i gluoni sono colorati E quindi auto accoppiati

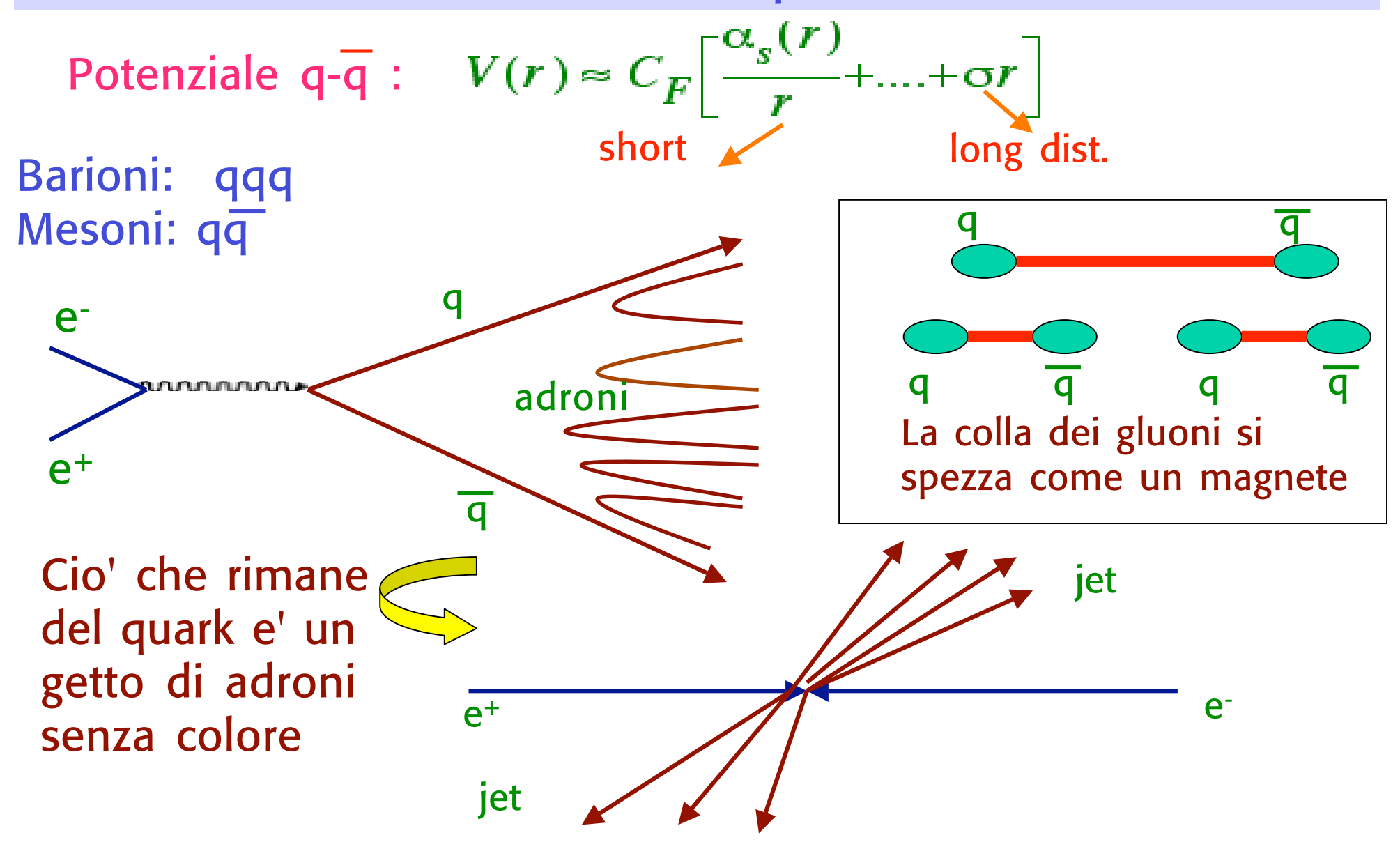


e_s: accoppiamento forte

$$\alpha_s = \frac{e_s^2}{4\pi}$$

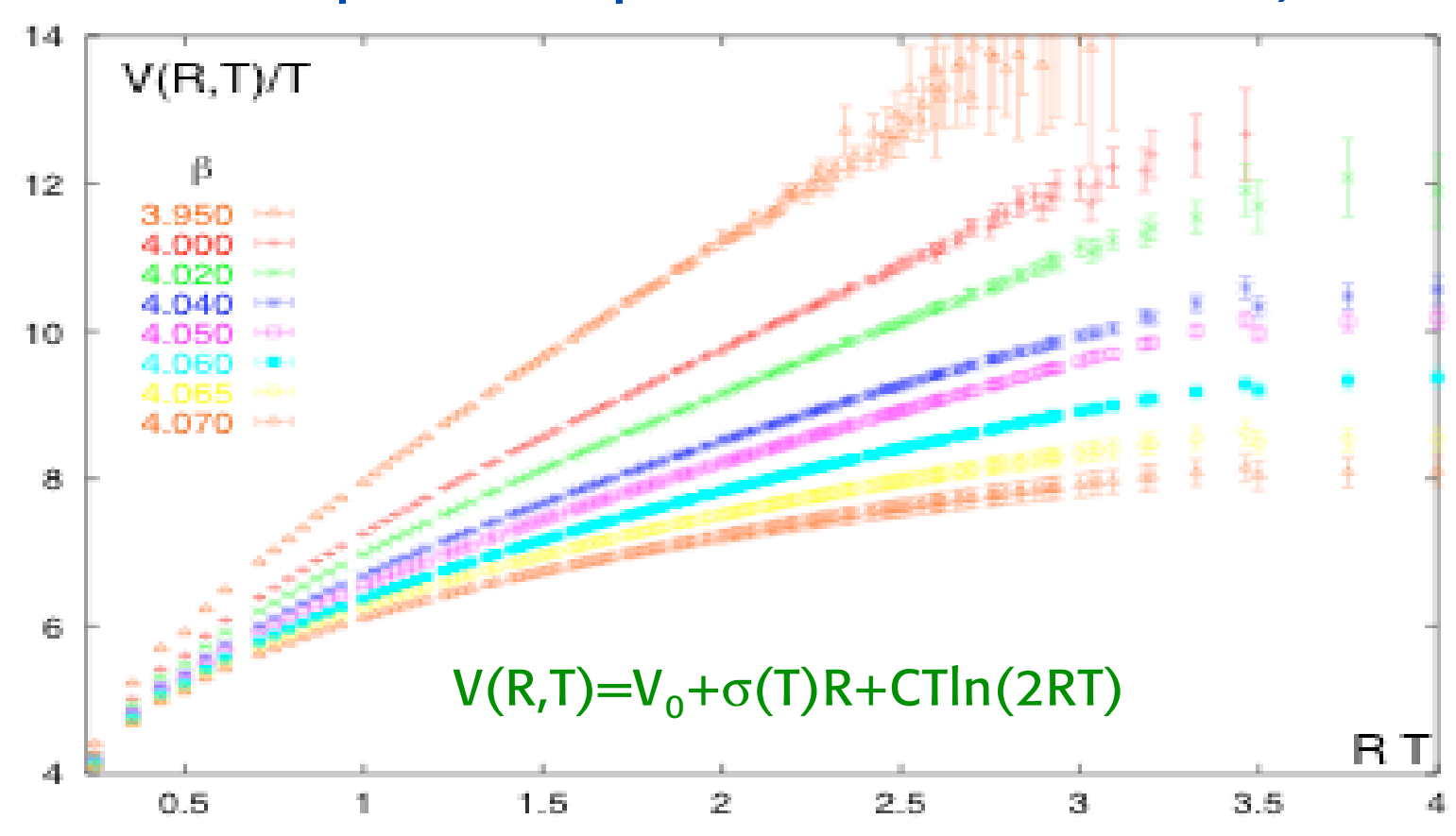


Il confinamento: non ci sono particelle colorate libere





Potenziale quark-antiquark sul reticolo (simulazione della QCD su uno spazio-tempo finito e discretizzato)

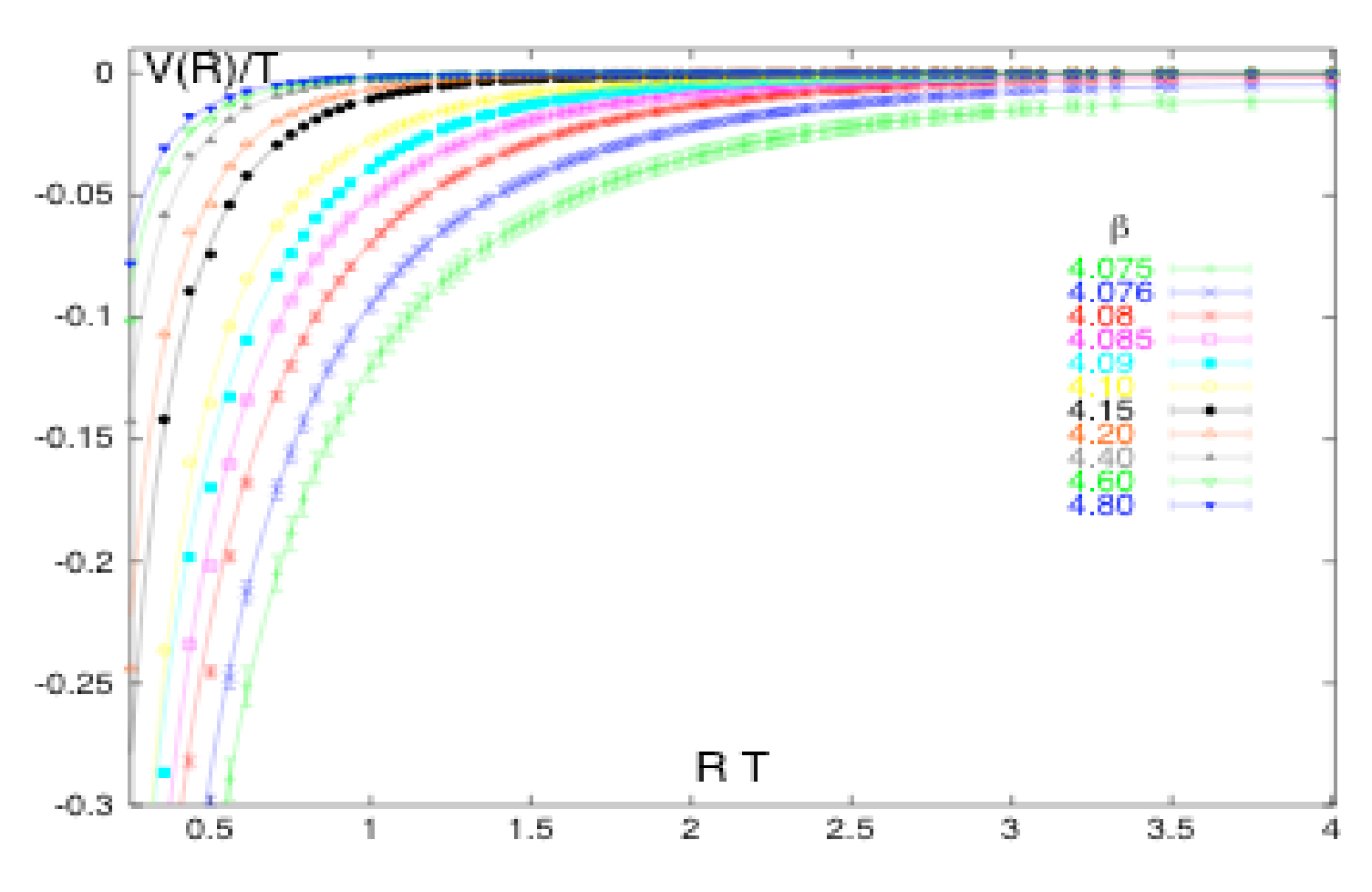


Alzando la temperatura il coefficiente σ del termine lineare in r decresce



Alla temperatura critica T_C si annulla: non piu' confinamento!

A T>T_C la pendenza in r rimane zero



 T_C dipende dal numero di sapori di quark $T_C \sim 175 \text{ MeV}$



Un evento a due getti nel rivelatore DELPHI a LEP

 $e^+e^- \rightarrow q\overline{q}$





ALICE (studio di collisioni tra ioni pesanti a LHC) **QCD Phase Diagram** Early universe RHIC, LHC Critical endpoint QGPQuark-Gluon Plasma (QGP) Meson Chiral symmetry Dominated HG restored Hadronic Baryon matter Dominated HG Color Chiral symmetry superconductor broken Nuclei μ_{B} Neutron stars



Il confinamento spiega il corto raggio delle int. nucleari mentre i gluoni senza massa dovrebbero corrispondere a lungo raggio

I nucleoni sono senza colore: possono solo scambiare particelle senza colore (pioni non gluoni)

$$\begin{array}{c|c}
\hline
 & n \\
\hline
 & \pi^+ \\
\hline
 & p \\
\end{array}$$
V~exp(-m_{\pi}r)/r

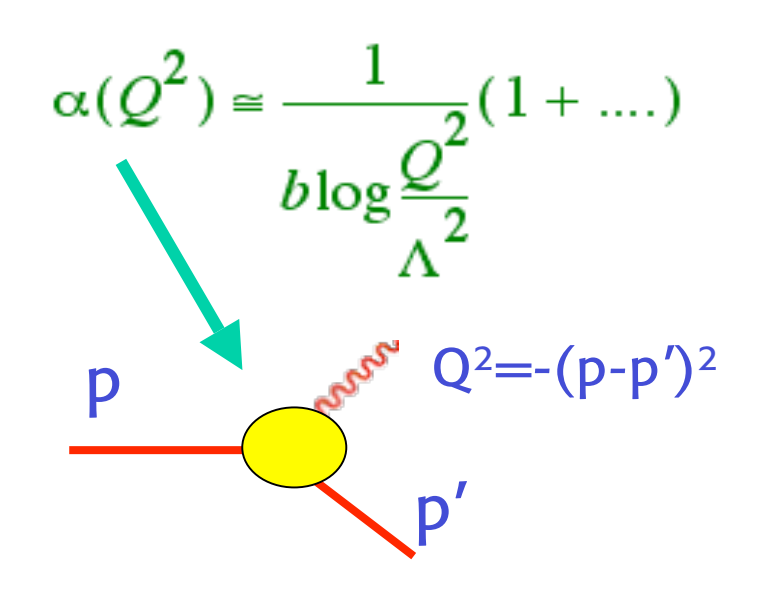
Il range delle forze nucleari e' determinato dalla massa del pione: $r \sim m_{\pi}^{-1} \sim 10^{-13}$ cm

Materia->Molecole->Nuclei->Protoni, Neutroni->Quarks

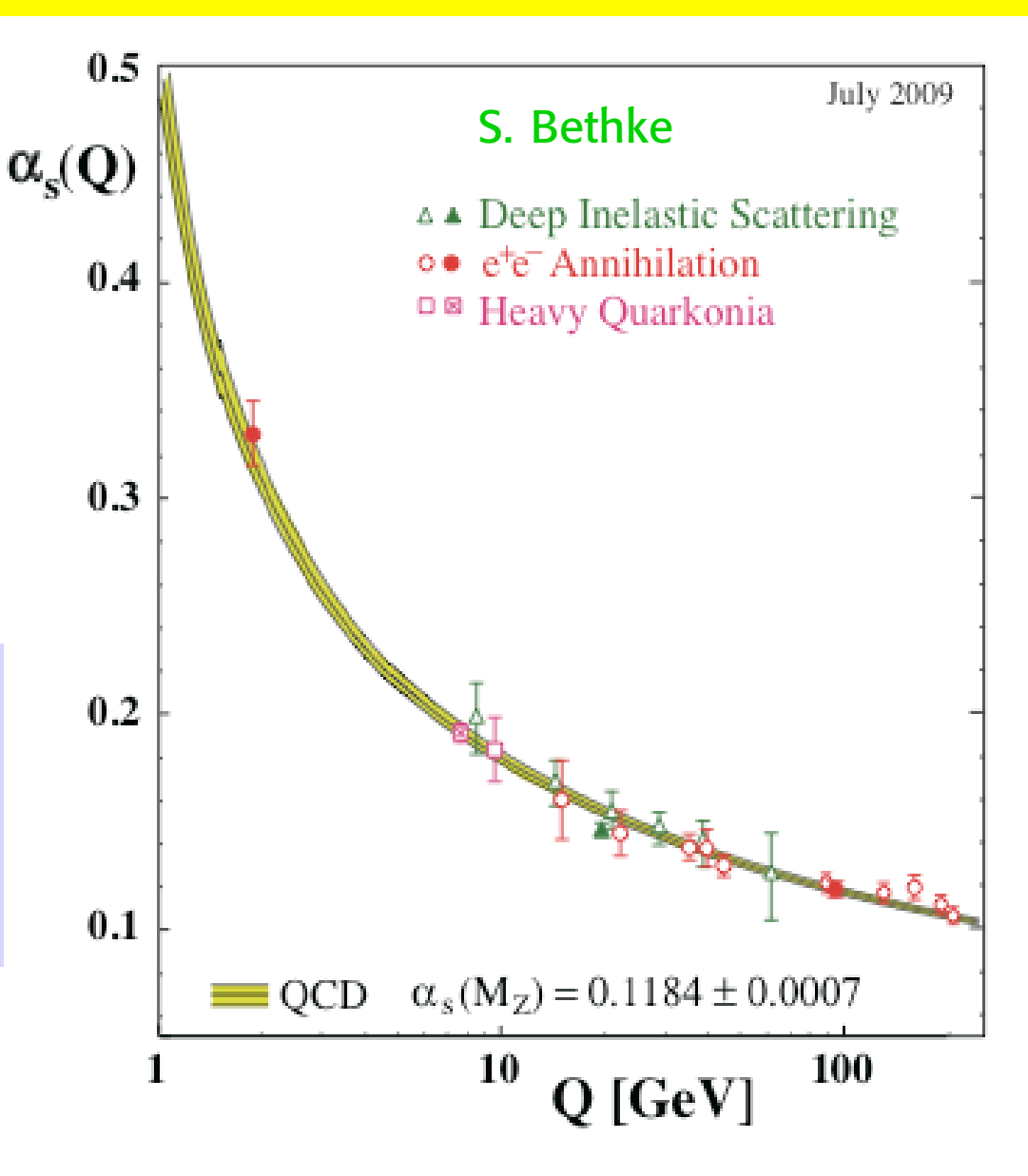
Finisce qui? Pare di si: Nessuna indicazione di componenti dallo spettro, dalle transizioni osservate

Confinati
Puntiformi r <10⁻¹⁷ cm
6 sapori e 3 colori

Liberta' asintotica: per le correzioni quantistiche l'accoppiamento effettivo decresce con Q, il momento trasferito



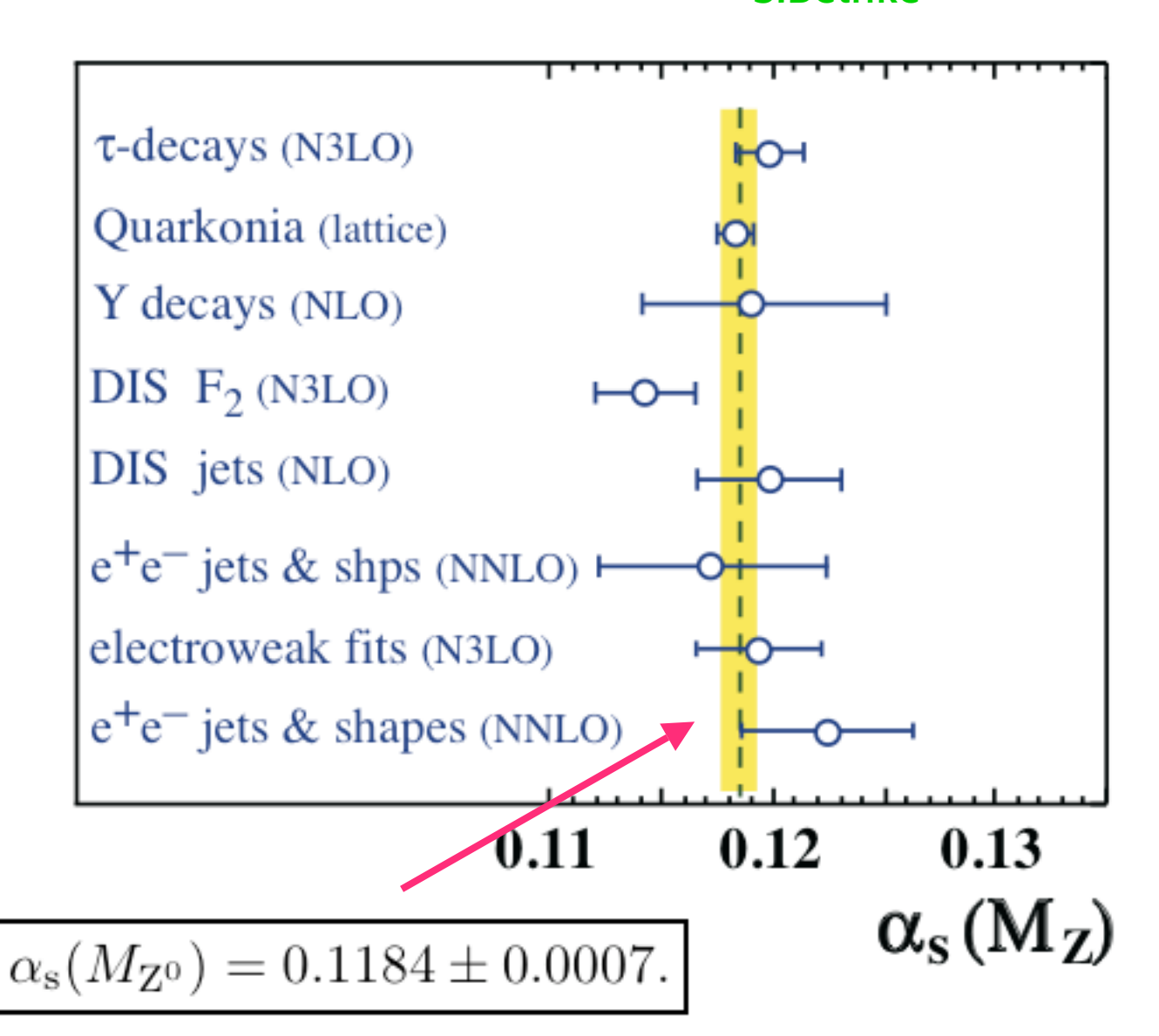
Le misure di $\alpha_s(Q)$ a differenti scale mostrano chiaramente la diminuizione di $\alpha_s(Q)$





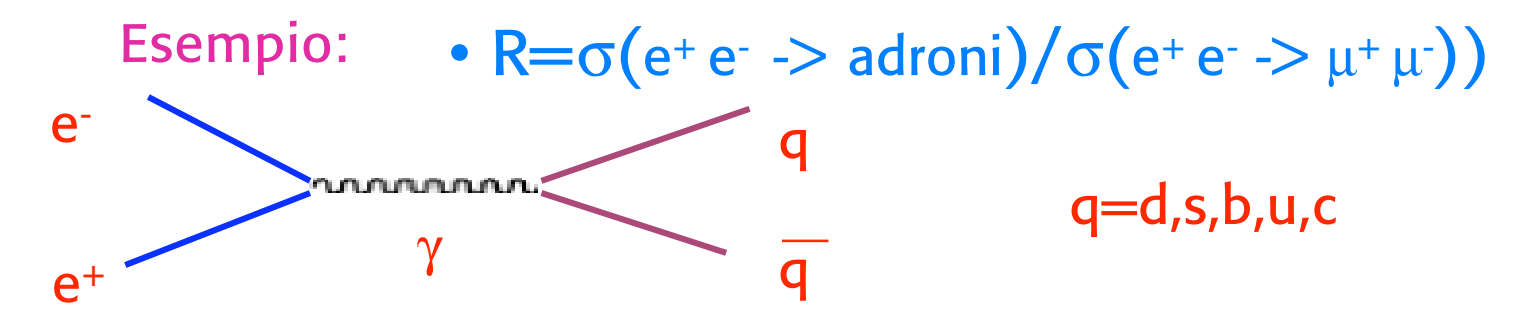
Measurements of $\alpha_s(m_z)$ (MS)

S.Bethke





SU(N_C): molti processi misurano N_C (n. colori di ogni q)



Sopra la soglia bb e sotto mz

$$R = N_C \cdot \left[3 \cdot \frac{1}{9} + 2 \cdot \frac{4}{9} \right] = \left(N_C \cdot \frac{11}{9} \right)$$

$$\text{(Trascurando piccole correz. calcolabili)}$$

$$\text{u,c}$$

$$\text{(Trascurando piccole correz. calcolabili)}$$



La teoria ED: $\mathcal{L} = \mathcal{L}_{symm} + \mathcal{L}_{Higgs}$

$$\mathcal{L}_{symm} = -\frac{1}{4} [\partial_{\mu} W_{\nu}^{A} - \partial_{\nu} W_{\mu}^{A} - ig \varepsilon_{ABC} W_{\mu}^{A} W_{\nu}^{B}]^{2} +$$

$$-\frac{1}{4} [\partial_{\mu} B_{\nu} - \partial_{\nu} B_{\mu}]^{2} +$$

$$+\overline{\psi} \gamma^{\mu} [i \partial_{\mu} + g W_{\mu}^{A} t^{A} + g' B_{\mu} \frac{Y}{2}] \psi$$

$$\mathcal{L}_{Higgs} = \left[[\partial_{\mu} - ig W_{\mu}^{A} t^{A} - ig' B_{\mu} \frac{Y}{2}] \phi \right]^{2} +$$

$$+ V[\phi^{\dagger} \phi] + \overline{\psi} \Gamma \psi \phi + \text{h.c}$$

$$\psi = \psi_{R,L} = \frac{1}{2} (1 \pm \gamma_{5}) \psi$$
Una teoria chirale:
$$(t, Y)_{R} \neq (t, Y)_{L}$$

$$Q = t^{3} + Y/2$$

$$\psi = \psi_{R,L} = \frac{1}{2}(1 \pm \gamma_5)\psi$$
Una teoria chirale:
$$(t, Y)_R \neq (t, Y)_L$$

$$Q = t^3 + Y/2$$

with

$$V[\phi^{\dagger}\phi] = \mu^2(\phi^{\dagger}\phi)^2 + \lambda(\phi^{\dagger}\phi)^4$$

 $\mathcal{L}_{\text{symm}}$: ben verificata (LEP, SLC, Tevatron...), $\mathcal{L}_{\text{Higgs}}$: ~ non verif.

Test di precisione \rightarrow $m_H < 186 GeV$ Ma l'Higgs non e' stato visto a LEP2: $m_H > 114.4$ GeV; Sola certezza $m_w = m_7 \cos \theta_w \longrightarrow l'$ Higgs e' un doppietto



Gli esperimenti provano che i couplings sono simm.

(accuratezza pochi 0/00)

Relazioni predette dalla simm. di gauge:

[Con piccole correzioni radiative calcolate f(m_t², logm_H)]

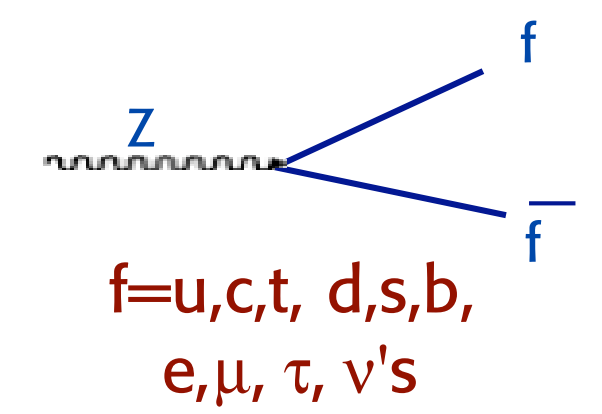
•
$$gsin\theta_W = e$$
; • $g'/g = tg\theta_W$; • $m_W = m_Z cos\theta_W$

$$\bullet \quad \frac{G_F}{\sqrt{2}} = \frac{g^2}{8m_W^2};$$

$$\bullet \quad \frac{g_{WW\gamma}}{g_{WWZ}} = tg\theta_W \qquad ---$$

•
$$\frac{g}{2\cos\theta_W}\overline{\psi}\gamma_{\mu}(g_V^f - g_A^f\gamma_5)\psi Z^{\mu}$$

$$\begin{cases} g_A^f = \pm \frac{1}{2} \\ g_V^f / g_A^f = 1 - 4 |Q^f| \sin^2 \theta_W \end{cases}$$
 f=u,c,t, d,s,b,





Tuttavia la simmetria e' completamente rotta nello spettro!

La simmetria di gauge Tutti i bosoni di gauge, tutti i fermioni

Ma m_w, m₇ differenti da zero



Per esempio, $m_t \gg m_b > 0$

Nello spettro: traccia della simmetria globale SU(2)!

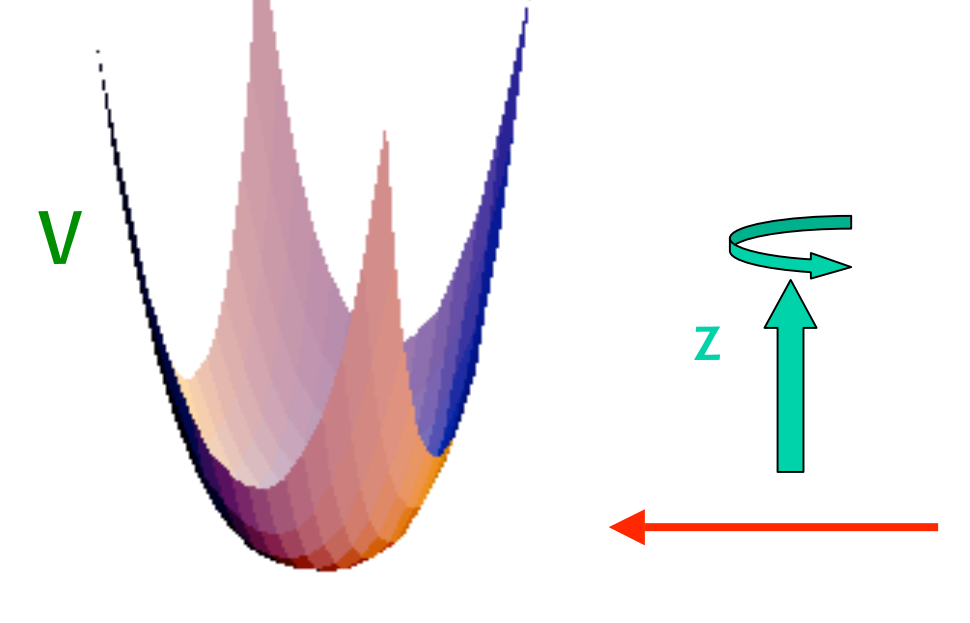
Rottura spontanea di simmetria

Correnti, cariche simmetriche. Spettro totalm. non simmetrico

RSS in teorie di gauge — meccanismo di Higgs



Rottura Spontanea di Simmetria (RSS)



Si ha quando il minimo del potentiale V non e' unico

Qui la simmetria e' per rotazioni intorno a z

$$V = |\mu|^2 \phi^2 + \lambda \phi^4$$

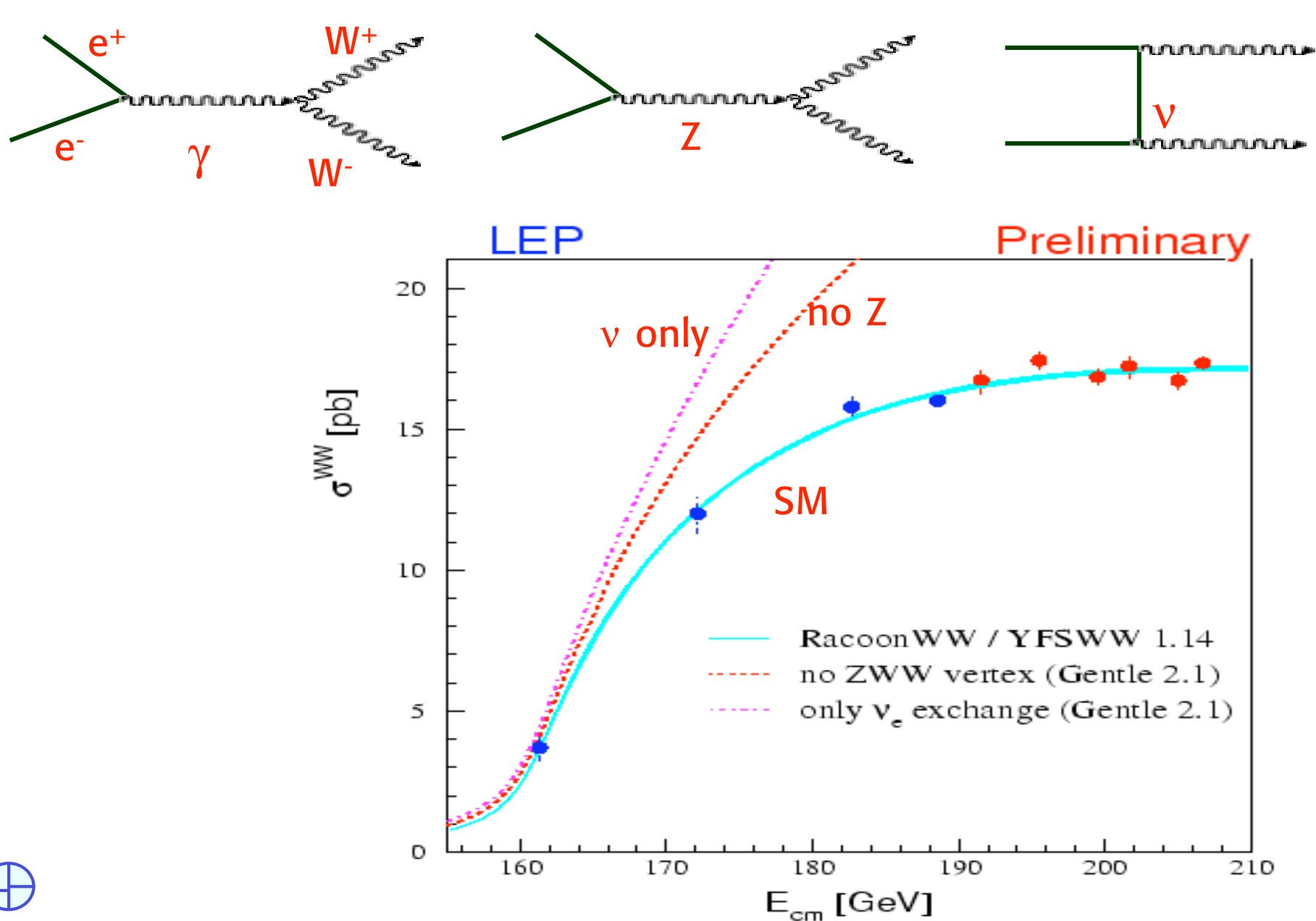
Una linea di minimi $\phi^2 = \mu^2/2\lambda$: RSS

$$V = -|\mu|^2 \phi^2 + \lambda \phi^4$$

La simmetria e' rotta quando il sistema sceglie un particolare punto di minimo

(come in un magnete)

$\sigma(e^+e^- -> W^+W^-)$



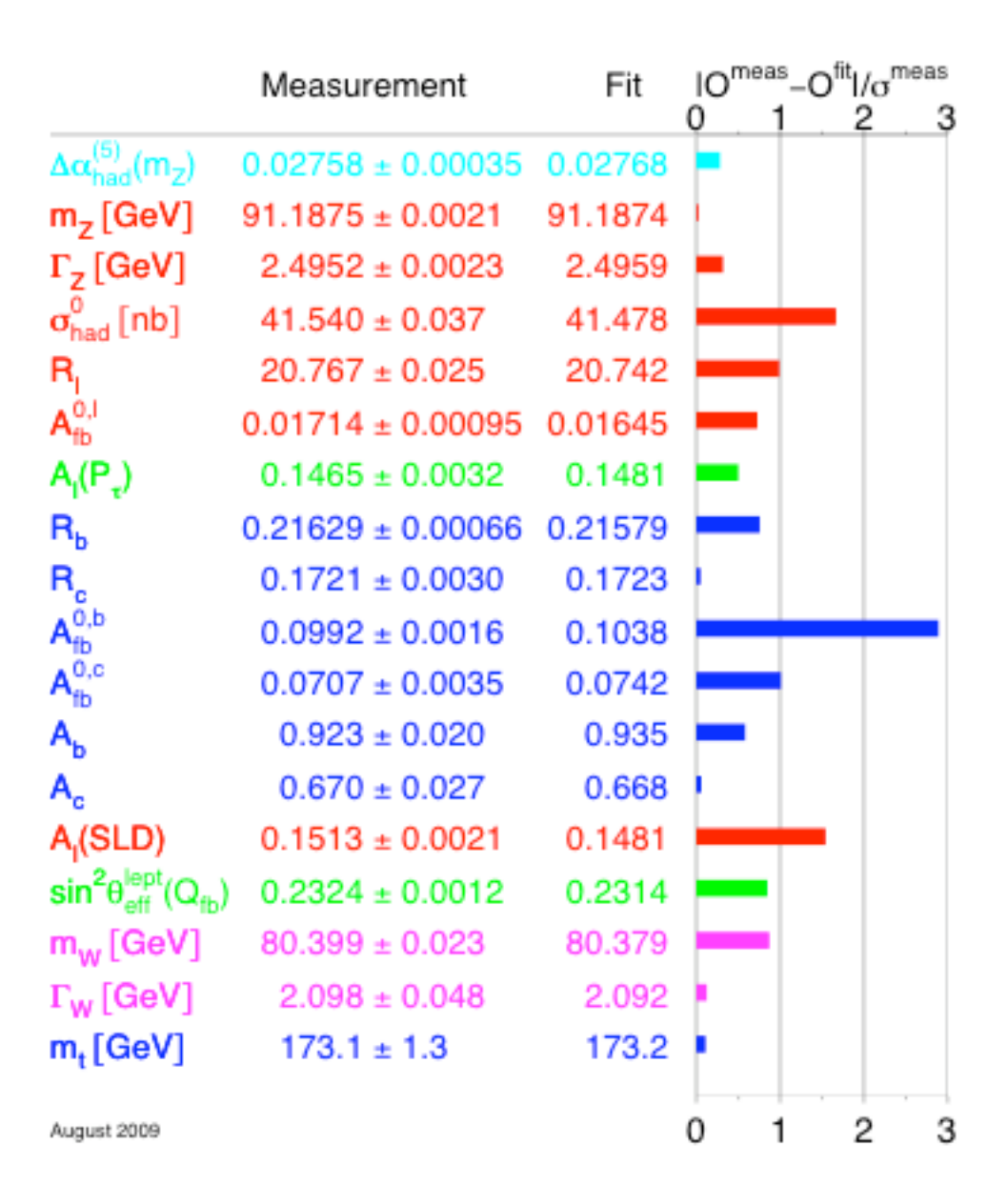


Nel 1989-2000 il MS
e' stato verificato al CERN (LEP)
e anche a SLC
(Stanford Linear Collider)
e al Tevatron
(FermiLab, Illinois)

LEP: e⁺e⁻ (2E=90-210 GeV)

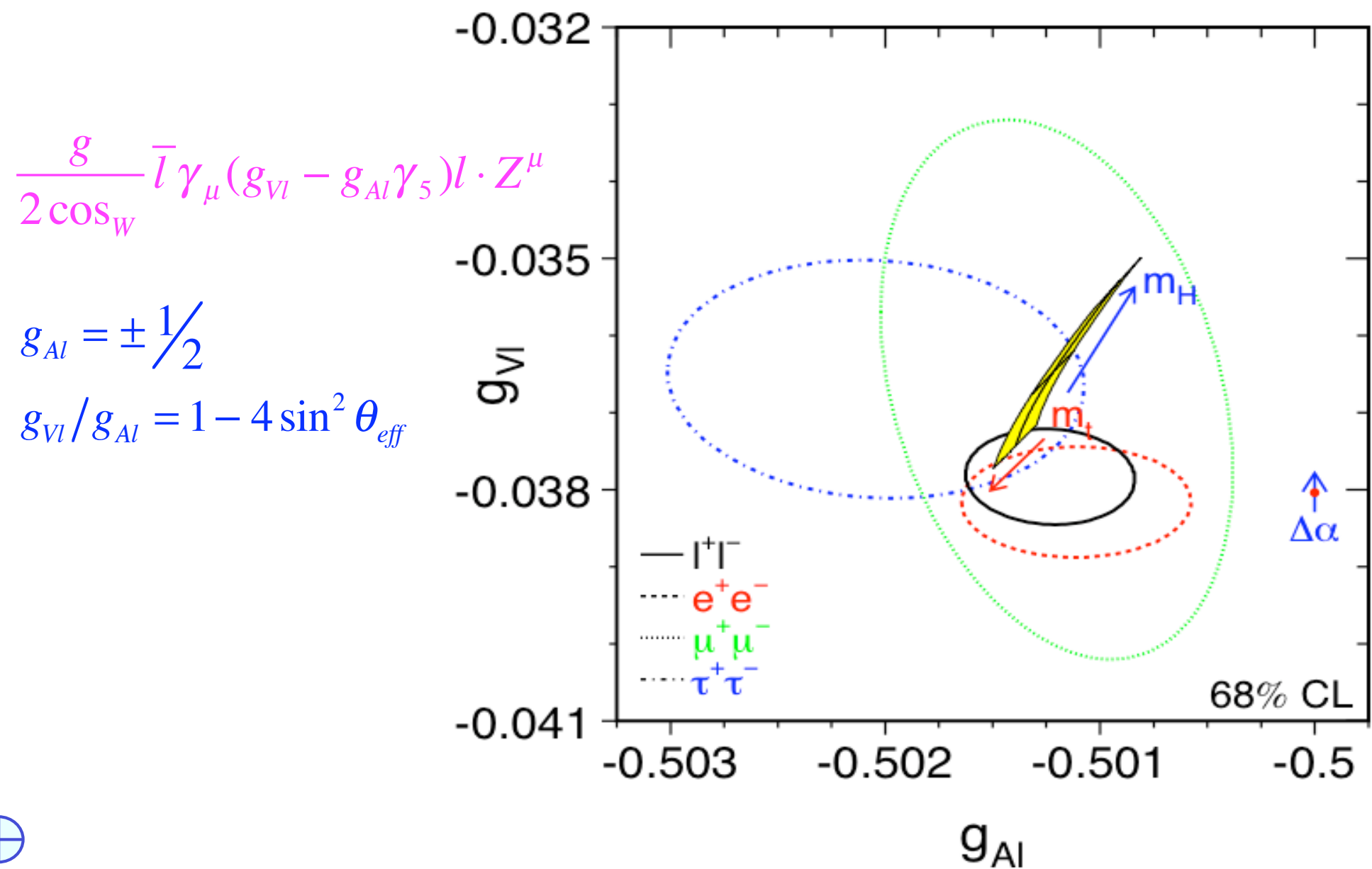
Il risultato e' che i tests di precisione confermano il MS e richiedono un Higgs leggero





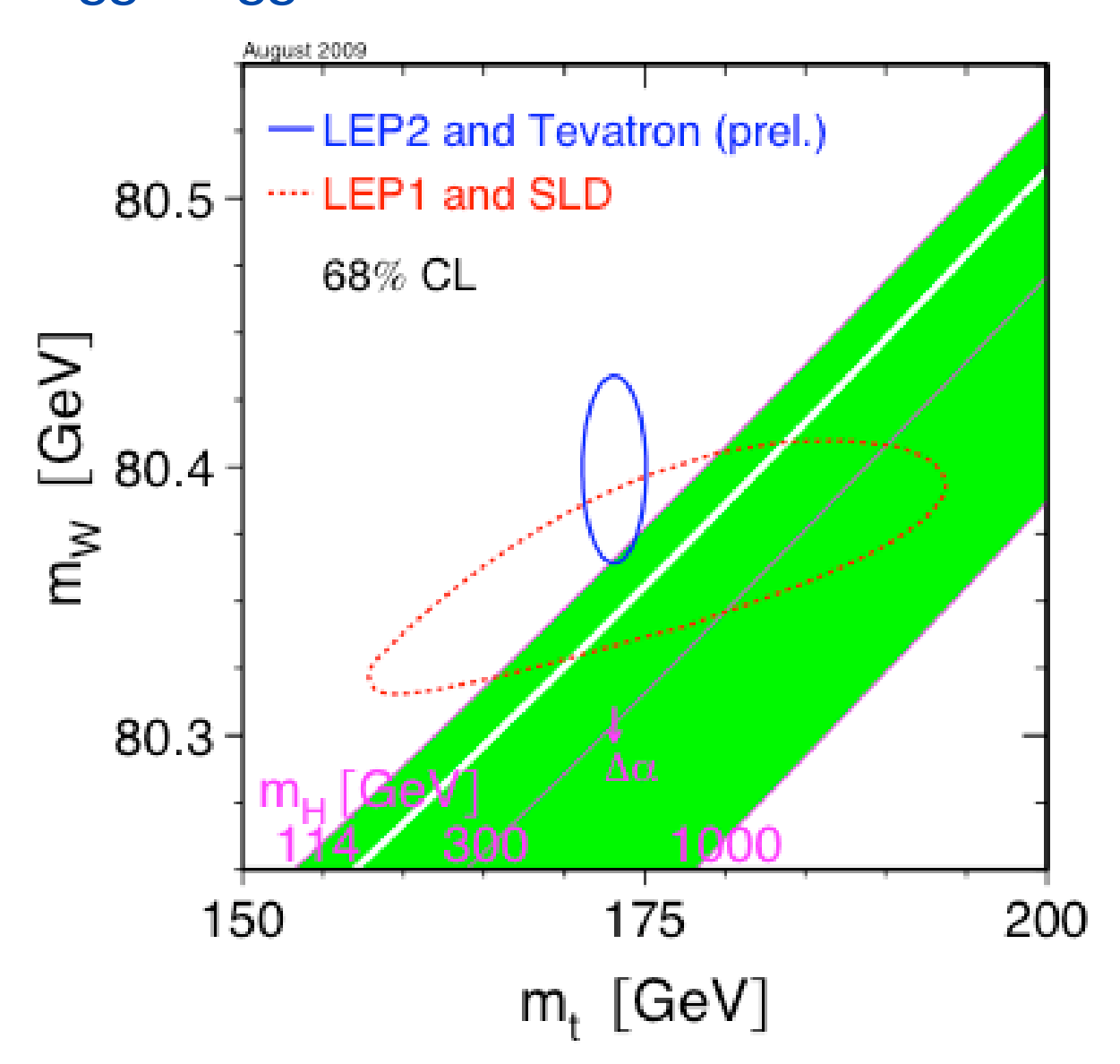


Esempio: i couplings vettoriali e assiali per Z ->1+1-





I valori misurati di m_W (LEP, TeVatrone) e m_t (TeVatrone) indicano un Higgs leggero





Il bosone di Higgs dovrebbe proprio essere vicino!

Dalle correz. radiative

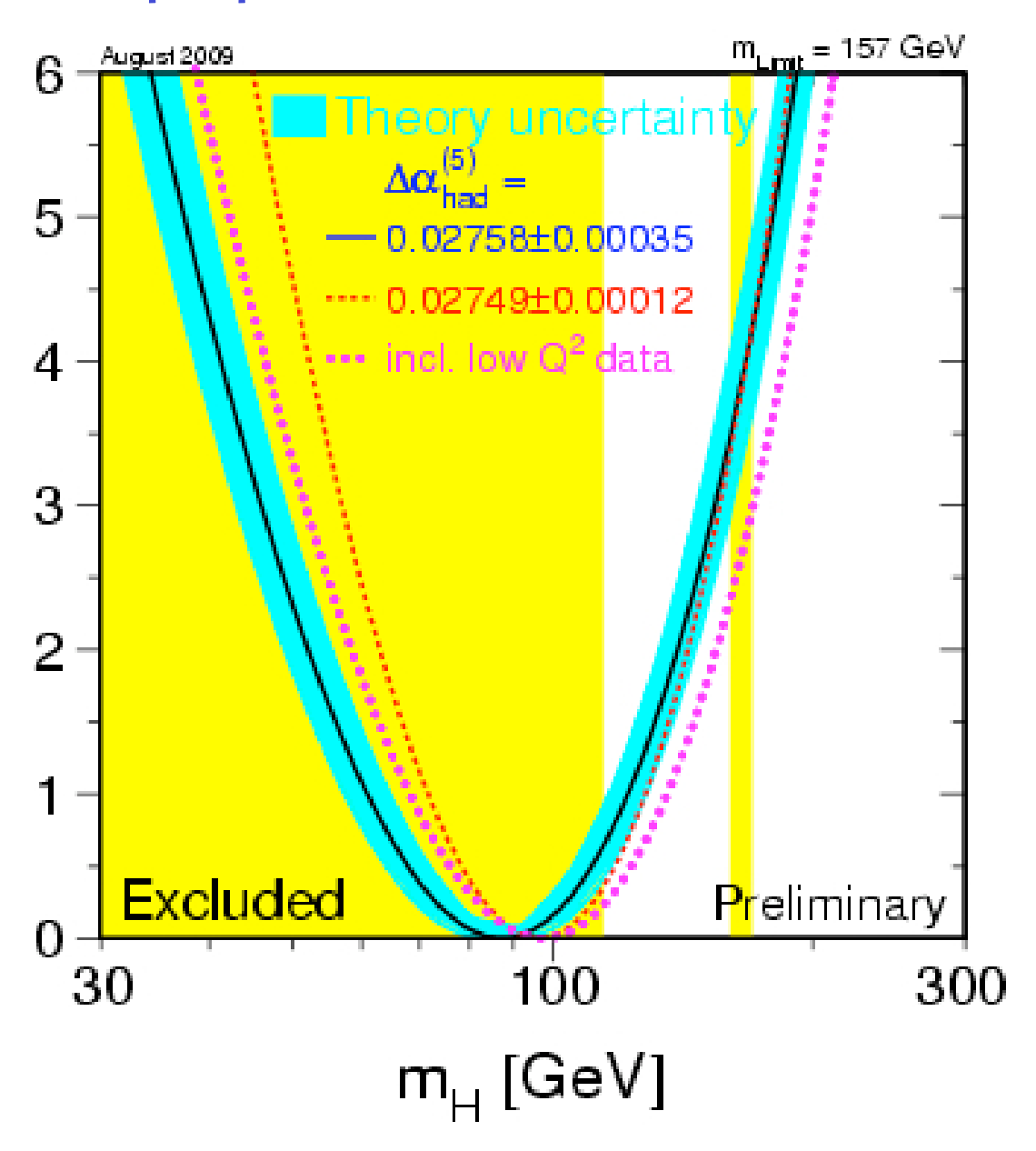
(banda blu)

 $m_H < 186 \text{ GeV}$

Ma dalle ricerche dirette:

(banda gialla)

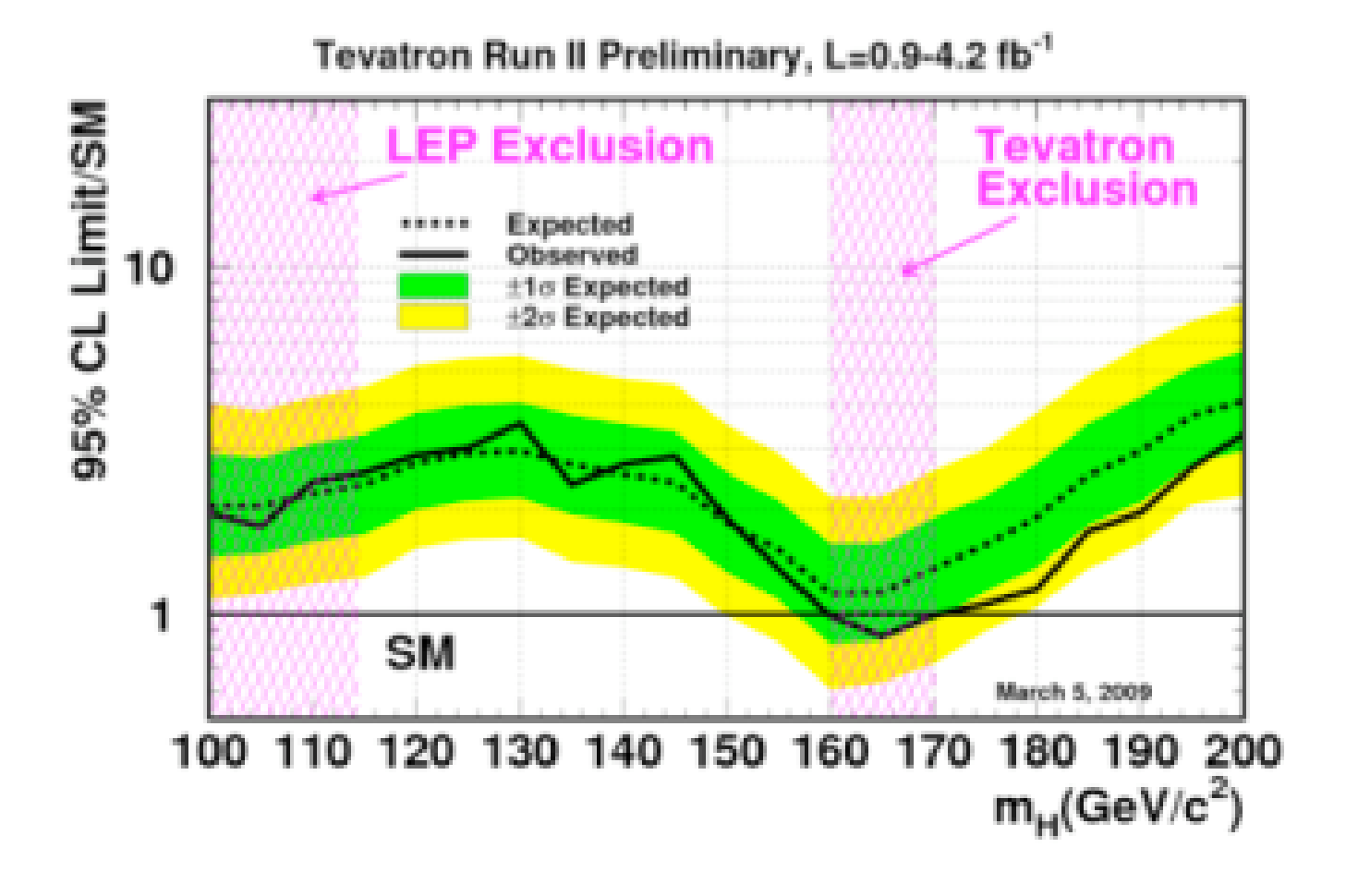
 $m_{H} > 114.4 \text{ GeV}$





Ora il Tevatron sta raggiungendo la sensibilita' per H in SM: escluso $160 < m_{\rm H} < 170 \; \text{GeV}$

TeVatron (Illinois, USA): collisioni protone-antiprotone a 2 TeV





La particella di Higgs

Il settore elettrodebole del modello standard si basa su una congettura ancora non verificata: esiste una particella, il bosone di Higgs che ha una interazione con tutte le altre particelle in proporzione alla loro massa.

Nel MS le masse dei W[±] e Z, dei quark e dei leptoni sono tutte dovute a questa interazione

Dal fatto che non e' stata ancora trovata sappiamo che $m_Hc^2 > 114$ GeV, ma dai suoi effetti indiretti che $m_Hc^2 < 186$ GeV

E' difficile da produrre e da rivelare perche' e' molto pesante ed e' solo accoppiata a particelle pesanti

Il LHC e' stato progettato per trovarla

Il MS funziona molto bene

Quindi perche' non trovare l'Higgs e poi dichiarare che la Fisica delle particelle e' compiuta?

Prima di tutto bisogna trovarlo!

Difficile perche' e' solo accoppiato a particelle pesanti
p.es. a LEP: e-

A causa di:

Problemi concettuali

- La gravita' quantistica
- Il "problema della gerarchia"

e⁺

E indicazioni sperimentali:

- Unificazione degli accoppiamenti
- Masse dei neutrini
- Materia oscura
- Bariogenesi
- Energia del vuoto



Problemi concettuali del MS

- I piu' ovvi: Niente gravita' quantistica (M_{Pl} ~ 10¹⁹ GeV)
 - Ma una diretta estrapolazione del MS porta direttamente alle GUT's ($M_{GUT} \sim 10^{16} \text{ GeV}$)

M_{GUT} vicino a M_{PI}



- suggerisce l'unificazione con la gravita' (teoria delle stringhe)
- pone il problema della relazione m_w vs M_{GUT}- M_{PI}

Puo' il MS essere valido fino a M_{GUT}- M_{Pl}?? Il problema della gerarchia



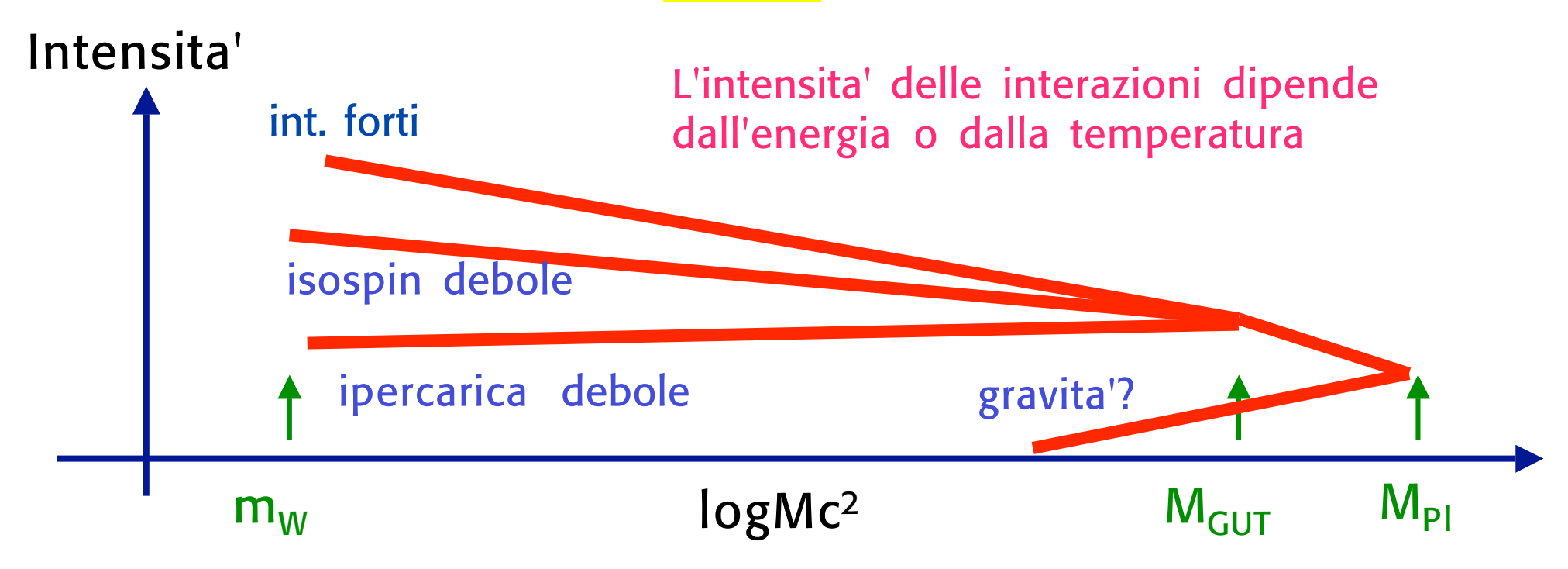
Non solo appare molto improbabile ma la nuova fisica deve essere vicina (~qualche TeV)!







La Grande Unificazione GUT's

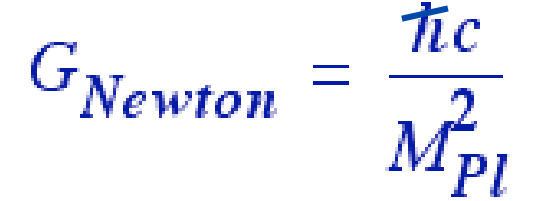


Le interazioni forti e elettrodeboli si unificano a M_{GUT} c² ~ 10¹⁶ GeV

La gravita' quantistica a M_{Pl}c²~ 10¹⁹ GeV



$$r \sim 10^{-33}$$
 cm



Il vero livello fondamentale e' a M_{PI}c²



La Grande Unificazione e' ormai accettata dai fisici teorici

- Un'unica grande simmetria G per tutte le interazioni
- Unita' delle forze
- Unita' dei quark e dei leptoni differenti "direzioni" in G
- Spiegazione delle cariche osservate

$$Q_d = -1/3 -> -1/N_{colour}$$

• Decadimento del protone, bariogenesi, masse dei neutrini

exp: vita media p
$$\tau_p > 2 \cdot 10^{29} - 1.6 \cdot 10^{33}$$
 anni (Eta' dell'Universo ~ 1.4 \, 10^9 \, anni)

• • • •



Il problema della gerarchia

- Perche' la gravita' e' cosi' piu' debole delle altre interazioni?
 - Ovvero, perche' m_W, m_H sono cosi' piu' piccole che M_{Pl}?

$$G_{Fermi} = rac{g_W^2}{4\sqrt{2}m_W^2}$$
 $G_{Newton} = rac{\pi c}{M_{Pl}^2}$

g_w: accoppiamento di gauge di SU(2)

Se il MS fosse valido fino alle energie di ordine Λ allora, per la presenza del settore di Higgs (campi scalari), m_W , m_H dovrebbero essere m_W , $m_H \sim g_W \Lambda$

Nel MS, se uno parte da m_W al livello classico, tale valore verrebbe spinto a $o(g_W\Lambda)$ appena si accendono le correzioni quantistiche



Il MS deve essere completato a O(TeV) per arrivare a M_{GUT}!

Il problema e' molto chiaro!

p.es. Il top loop (il piu' urgente!):

S. Il top loop (il più' urgente!):
$$m_h^2 = m_{bare}^2 + \delta m_h^2$$

$$\delta m_{h|top}^2 = \frac{3G_F}{\sqrt{2}\pi^2} m_t^2 \Lambda^2 \sim (0.3\Lambda)^2$$

Il problema della gerarchia richiede nuova fisica alla scala debole

 $\Lambda \sim o(1\text{TeV})$

A: scala della nuova fisica oltre il MS

- $\Lambda >> m_7$: lo SM funziona molto bene a LEP
- Λ ~ deve essere vicino a $G_F^{-1/2}$ ~ o(1TeV) for a spiegazione naturale di m_h o m_w

Un paradosso: m_h leggero, quindi la nuova fisica deve essere vicina, ma allora perche' non ne vediamo gli effetti? Niente a LEP, niente alle "fabbriche di B"!

La nuova fisica deve essere molto speciale

Soluzioni possibili:

- Supersimmetria: simm. bosoni-fermioni
 esatta (non realistico): cancellazione di δm²
 approssimata (possibile): Λ ~ m_{SUSY}-m_{ord}
 La piu' accettata, ma gia' attesa a LEP2
- L'Higgs e' costituito da fermioni. Non ci sono scalari fond. Ma serve una nuova forza molto intensa che li leghi. $\Lambda_{\text{new}} \sim 10^3 \, \Lambda_{\text{OCD}}$ (technicolor).

Il modello originale molto sfavorito da LEP, riappare in nuove forme

• Nuove dimensioni spazio-temporali che cambino M_{Pl} forse fino a o(1TeV) e che spieghino la differenza tra m_W e M_{Pl}

Elegante e affascinante. Molte possibilita': un vasto scenario

• Ulteriori simmetrie

Perche' grandi acceleratori (alto costo)?

• Per guardare dentro le particelle a piccole distanze

```
Meccanica quantistica:

Lunghezza d'onda \lambda \sim h/p \sim hc/E \sim risoluzione

Adesso E ~ 100 - 1000 GeV

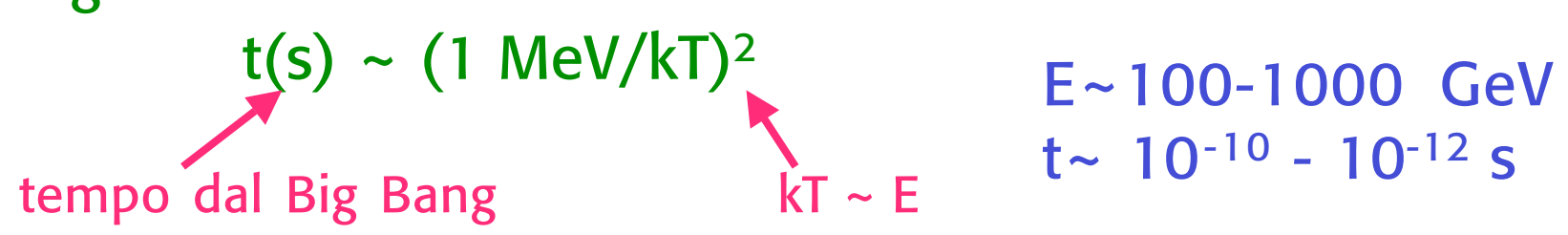
\lambda \sim 10^{-16} - 10^{-17} cm

(atomo~10<sup>-8</sup> cm, protone ~10<sup>-13</sup> cm)
```

 Per produrre particelle pesanti con Mc² < E (instabili con vita media corta)

p.es. la particella Z, il mediatore delle correnti neutre deboli, studiata al LEP ha M \sim 91 GeV/c² e τ \sim 2.6 10⁻²⁵ s

Per seguire la storia dell' Universo fino a





Particelle elementari e Cosmologia: un'unita' sempre piu' stretta

Eta' dell'Universo: 13.7 Gy (Miliardi di anni) dal Big Bang

L'Universo si espande e si raffredda

$$1 \text{ MeV} = 10^6 \text{ eV} \sim 1.16 \cdot 10^{10} \, ^{0}\text{K}$$

$$1 \text{ GeV} = 1000 \text{ MeV}$$

$$1 \text{ TeV} = 1000 \text{ GeV}$$

$$kT = \frac{1MeV}{\sqrt{t(s)}}$$
tempo in sec dal big bang

k ~ 8.6 10⁻⁵ eV/⁰K costante di Boltzmann

Per es.:

I processi elementari all'energia di 100 GeV determinano la composizione dell'Universo a 10⁻¹⁰ s dopo il Big Bang

Gli acceleratori di particelle e la teoria dei processi fondamentali ricostruiscono l'Universo primordiale



Nel primo secondo di vita dell'Universo c'e' tutta la Fisica!

```
Presente: t \sim 5 \ 10^{17} s \sim 14 \ Gys, T \sim 2.76^{\ 0}

Atomi: t \sim 10^{12}, kT \sim eV

Nuclei: t \sim 1, kT \sim MeV

QCD: t \sim 10^{-4}, kT \sim 100 \ MeV

EW: t \sim 10^{-10}, kT \sim 100 \ GeV

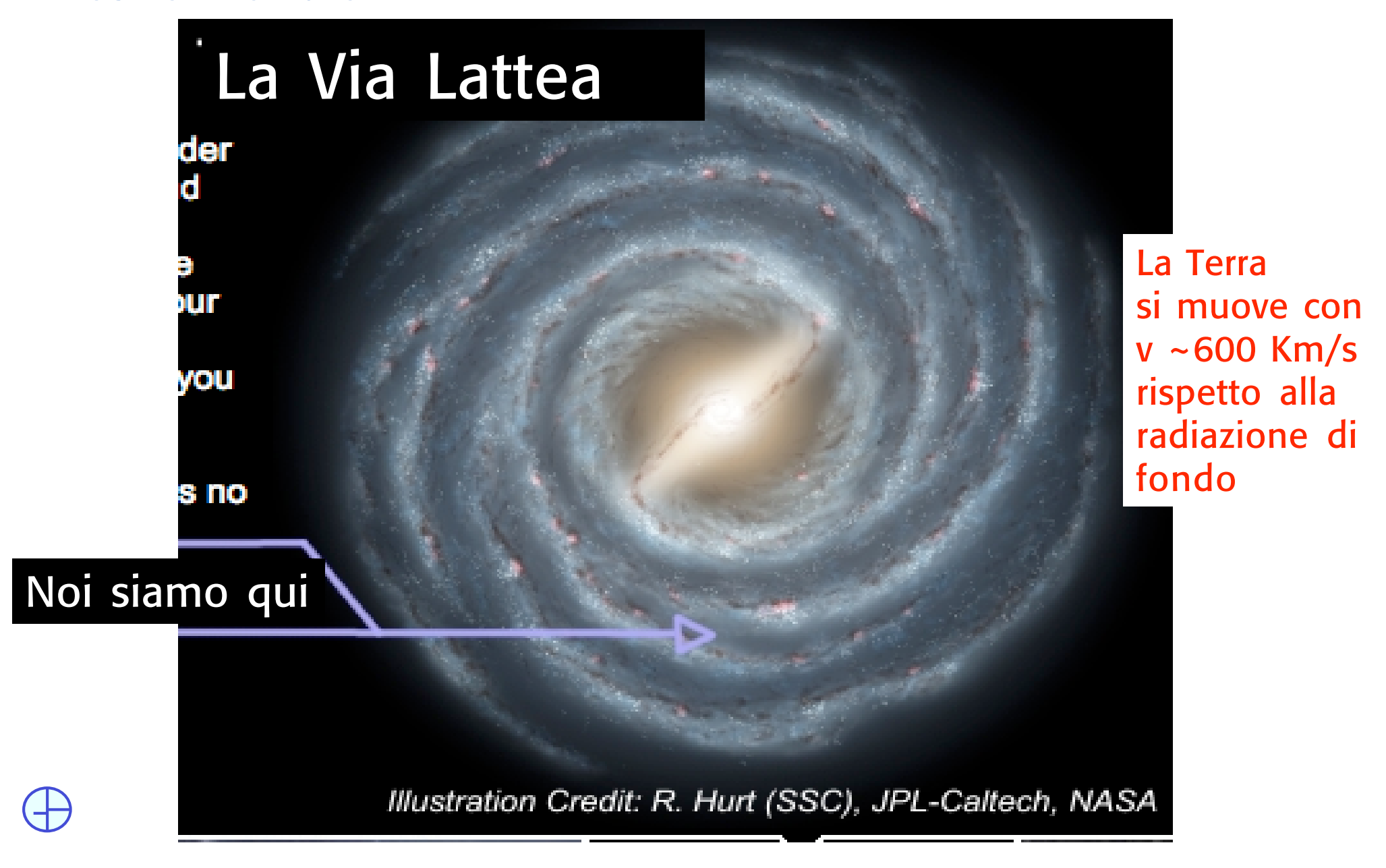
LHC: t \sim 10^{-12}, kT \sim 1 \ TeV

GUT's: t \sim 10^{-38}, kT \sim 10^{16} \ GeV

Planck: t \sim 10^{-44}, kT \sim 10^{19} \ GeV
```



Per Cosmologia si intende qui la struttura in grande, non il nostro vicinato!



La materia oscura (non visibile ma gravitante)

Oggi, da un complesso di esperimenti, sappiamo che $\Omega = 1$ Universo piatto, in accordo con le teorie inflazionarie ($\Omega = densita'$ di energia/densita' critica):

 Ω < 1 Universo aperto, Ω > 1 Universo chiuso

Sappiamo anche che la maggior parte della materia e' non visibile e non e' fatta di atomi: una misteriosa nuova particella neutra stabile (per es il neutralino delle teorie supersimmetriche)



Alla fine dell'800 J.J.Thomson dimostro' che ci dovevano essere nuove forme di energia perche' il sole e le stelle non si possono spiegare con la chimica. Analogamente, oggi la materia oscura ci indica l'esistenza di una nuova fisica -> LHC

L'energia del vuoto

I dati indicano che attualmente l'Universo si espande con una accelerazione positiva.

La gravitazione di per se da' una accelerazione negativa (attrazione tra le masse)

Bisogna aggiungere alle eq.ni di Einstein un termine (costante cosmologica) che determina una pressione negativa che overcompensa l'attrazione gravitazionale. Tale termine era stato gia' ipotizzato da Einstein quando tentava di ottenere un Universo stazionario (prima della scoperta del Big Bang)

L'accelerazione osservata e' vicina al valore massimo oltre il quale non si potrebbero formare le galassie (Weinberg)

La fisica teorica attuale non e' in grado di comprendere il valore osservato del termine cosmologico.



La bariogenesi (dov'e' finita l'antimateria nell'Universo?)

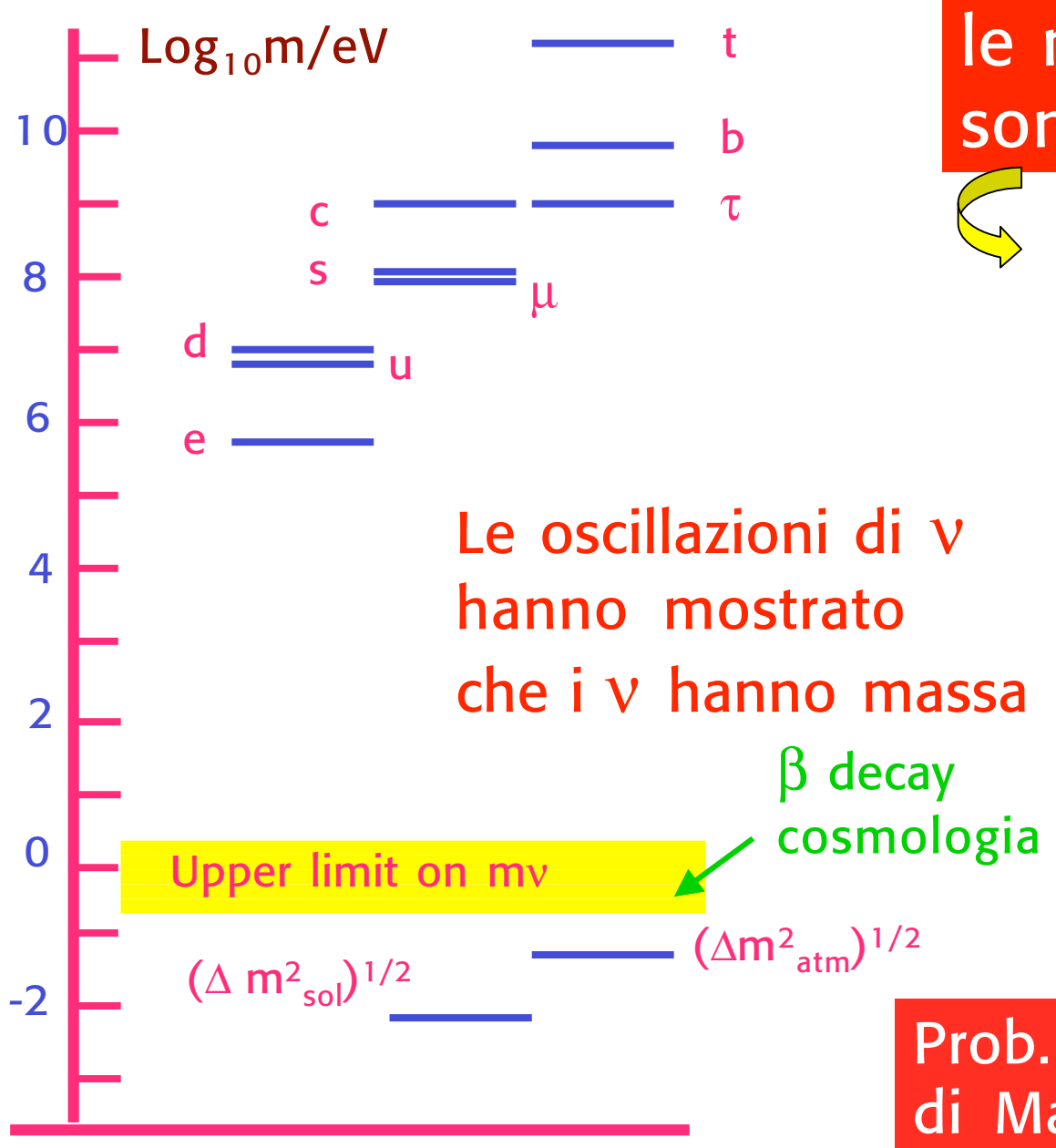
Attualmente nell'Universo si vede solo materia. Ma in realta' nulla impedisce di pensare che al Big Bang ci fosse uguaglianza tra materia e antimateria.

Infatti lo squilibrio osservato puo' essersi generato dinamicamente se le interazioni fondamentali violano la conservazione del numero barionico e del numero leptonico (come accade nella Grande Unificazione) e se violano C e CP (in misura sufficiente).

Soddisfatte queste condizioni lo squilibrio osservato puo' essere generato dinamicamente durante una delle fasi di non equilibrio Termodinamico durante l'espansione dell'Universo (Sakharov).

Nel Modello Standard esteso a incorporare le masse dei neutrini si puo' spiegare la bariogenesi





le masse dei neutrini sono speciali!

$$m_t/(\Delta m_{atm}^2)^{1/2} \sim 10^{12}$$

v senza massa?

- no v_R
- L conservato

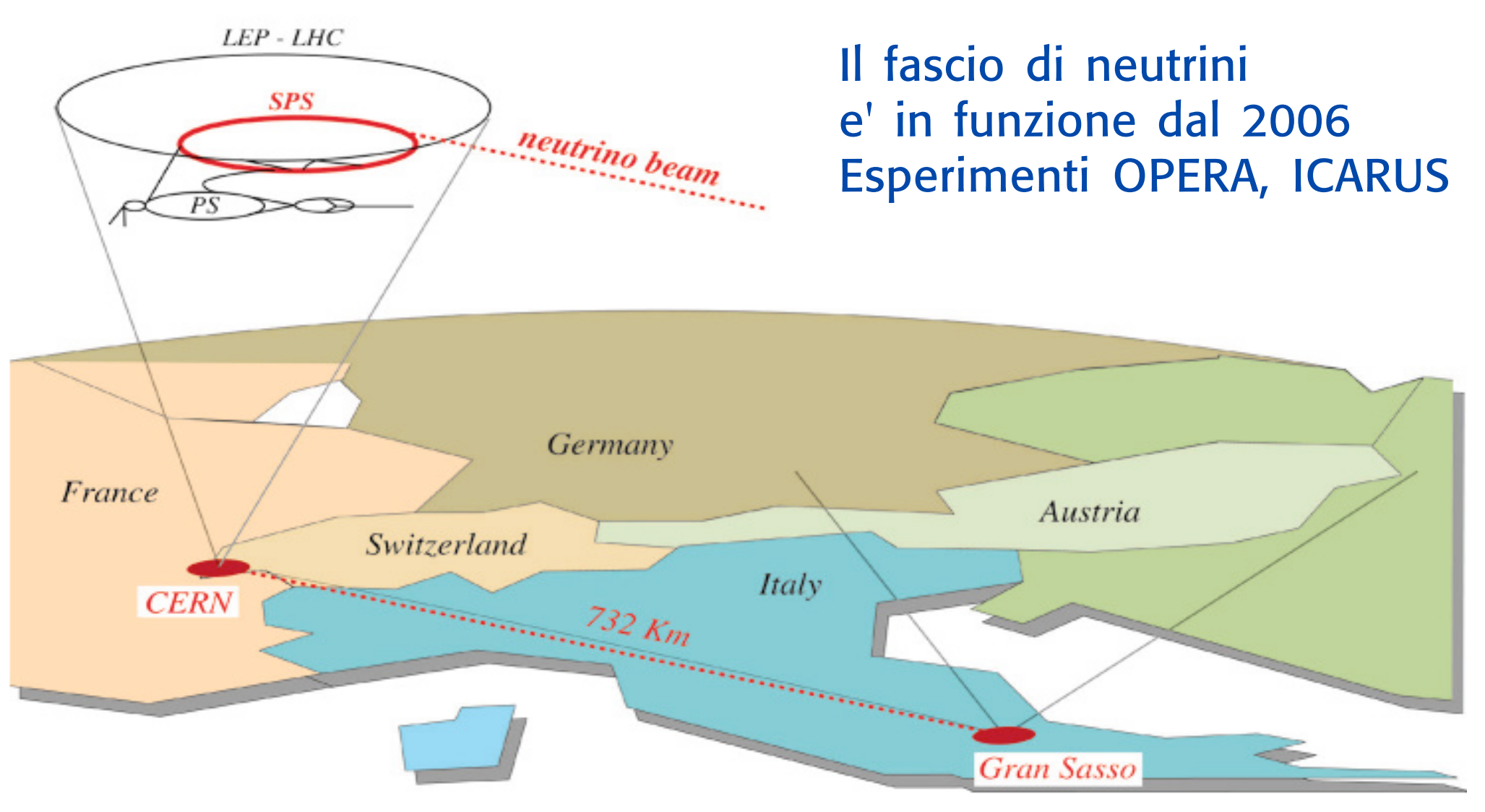
Piccole masse dei v?

- v_R molto pesante
- L non conservato

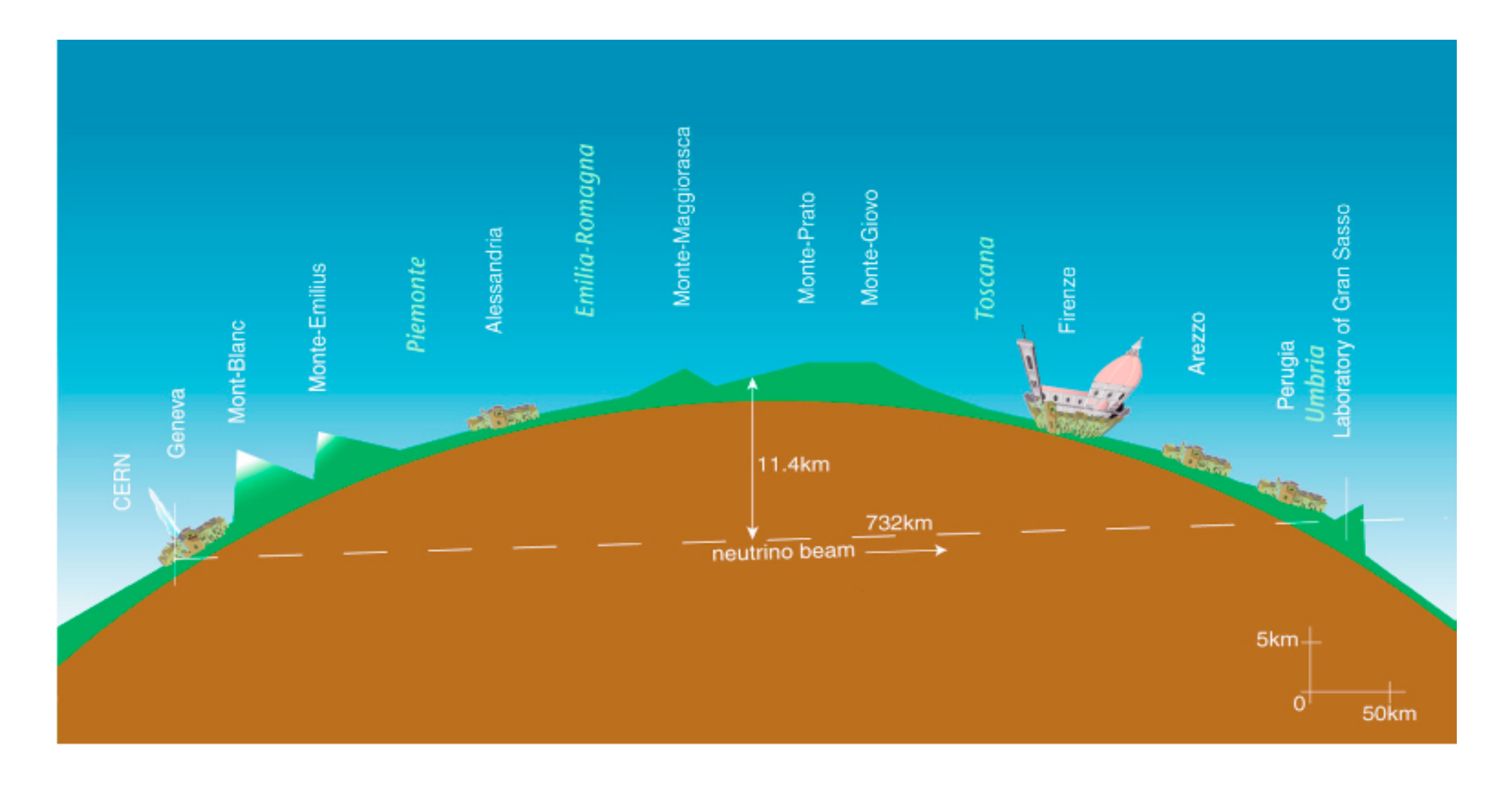
Prob. i neutrini sono part.lle di Majorana (neutrino=antineutrino)



CERN to Gran Sasso Neutrino Beam







Al Gran Sasso si studiano le oscillazioni dei neutrini, e la fisica delle masse e degli angoli di mixing dei neutrini



La teoria quantistica della gravitazione

Uno dei maggiori problemi della fisica teorica contemporanea e' la formulazione di una teoria quantistica della gravita'.

La teoria delle stringhe e' emersa come una possible soluzione.

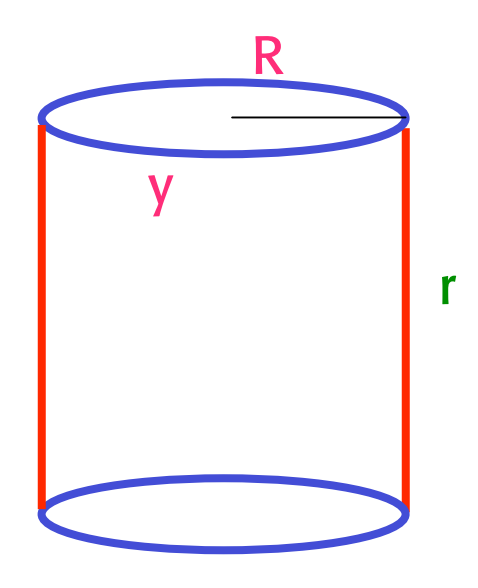
In questa teoria le particelle fondamentali sono oggetti estesi, stringhe, con dimensioni tipiche di 10^{-33} cm (oggi sappiamo che appaiono puntiformi fino a ~ 10^{-17} cm) e lo spazio-tempo ha 10 o 11 dimensioni (10 = 9 di spazio + 1 di tempo).

Il nostro Universo a 4 dimensioni sarebbe una particolare soluzione in cui le altre 6 dimensioni sono "compattificate" ovvero arrotolate su se stesse con un raggio di curvatura finito, per es di 10⁻³³ cm.

In altri Universi si potrebbero avere differenti soluzioni.

Nuove dimensioni spazio-temporali

Immaginiamo un piccolo insetto che abita su un lungo filo r.
Per lui l'Universo ha 1 dim di spazio (e 1 di tempo).
Ma in realta' il filo ha uno spessore: e' un cilindro con sezione di raggio R (raggio di compattificazione).



Similmente il nostro Universo 4-dimensionale potrebbe avere un piccolo spessore.

La gravita' che e' collegata alla geometria agisce in tutte le dimensioni, mentre le altre interazioni potrebbero essere confinate lungo r.

Forse la gravita' ci appare debole solo perche' molte delle sue linee di forza si estendono nelle dimensioni ulteriori

Universo o Multiverso?

E' concepibile che il nostro Universo sia una di tante bolle generate dal vuoto da fluttuazioni quantistiche

Infatti tutte le grandezze conservate (energia, momento angolare, carica elettrica,....) sono compatibili con zero. (per es l'energia cinetica dell'esplosione puo' essere compensata dalla attrazione gravitazionale)

Invece di un singolo Universo stazionario, una continua creazione di Universi

In ognuno la fisica potrebbe essere diversa (per esempio, nel nostro la costante cosmologica avrebbe il valore giusto per la formazione delle galassie: spiegazione "antropica")



Osservazione conclusiva: una scienza inutile?

Alcune recenti applicazioni (per non parlare di tutto il resto)

Web, Grid
Computers
Crittografia
Posizionamento Globale (GPS)
Acceleratori per terapia
Immagini per la medicina
Superconduttivita'
Isotopi radioattivi
Luce di sincrotrone

Sorgenti di neutroni

••••• (Glashow)

Oggi i governi insistono troppo su un immediato ritorno delle ricerche

In realta' nella storia recente sono state piu' produttive le ricadute della ricerca fondamentale che non la ricerca "applicata"



La fisica fondamentale (particelle e cosmologia) ha un magnifico curriculum.

Un secolo fa non si conosceva la relativita', la dinamica della gravitazione, la meccanica quantistica, la fisica atomica, la struttura nucleare, lo spettro delle particelle e la dinamica delle loro interazioni, il Big Bang, l'eta'dell'Universo, la sua evoluzione....

Le risorse investite nella fisica fondamentale hanno prodotto un progresso enorme di conoscenze e di formidabili applicazioni tecnologiche

Un gran numero di questioni basilari rimane aperto (l'Higgs, fisica oltre il MS, Grande Unificazione, decadimento del protone, gravita' quantistica, teoria delle stringhe, materia oscura, bariogenesi, l'energia del vuoto,



La fisica non e' finita!!!